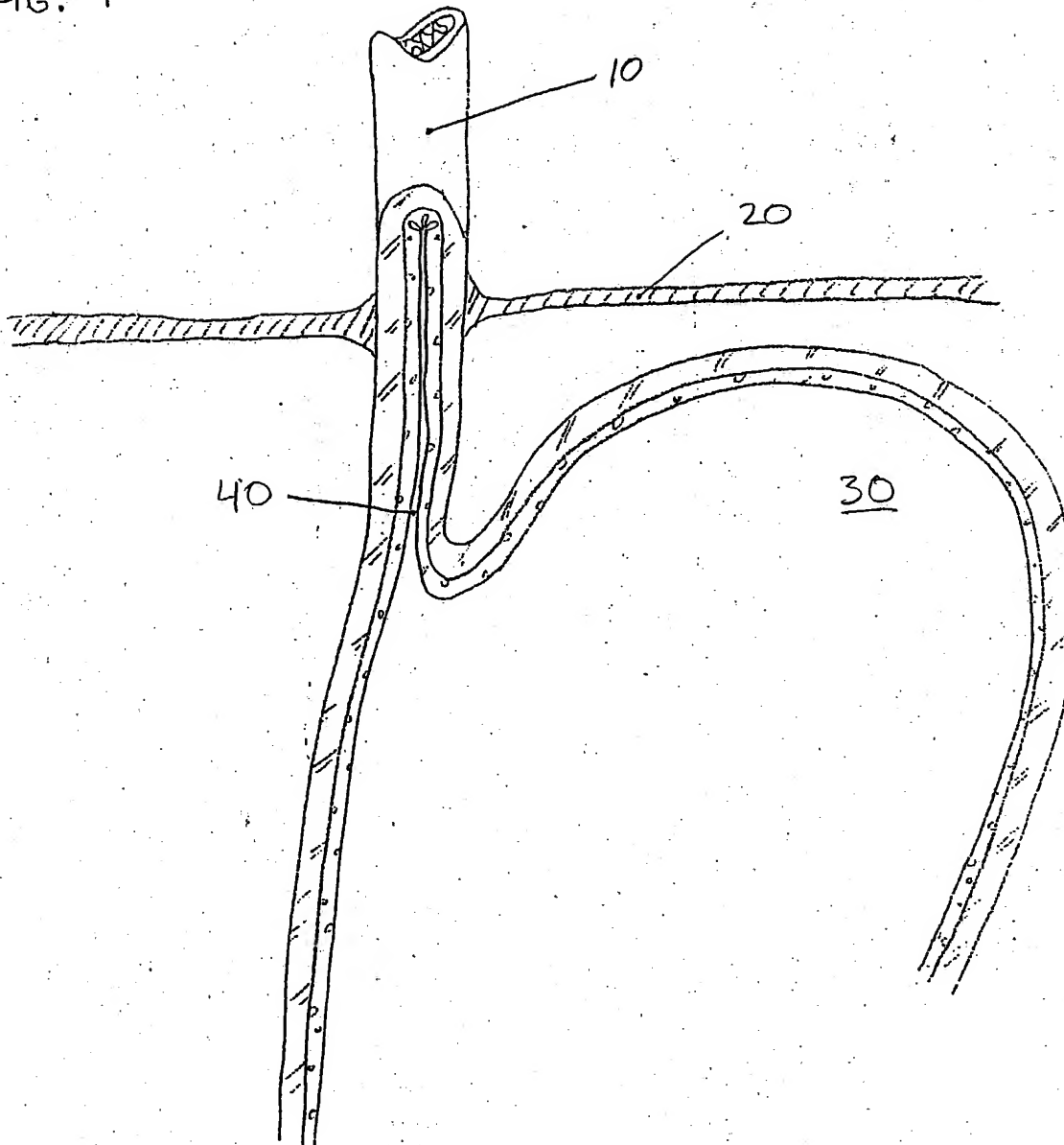


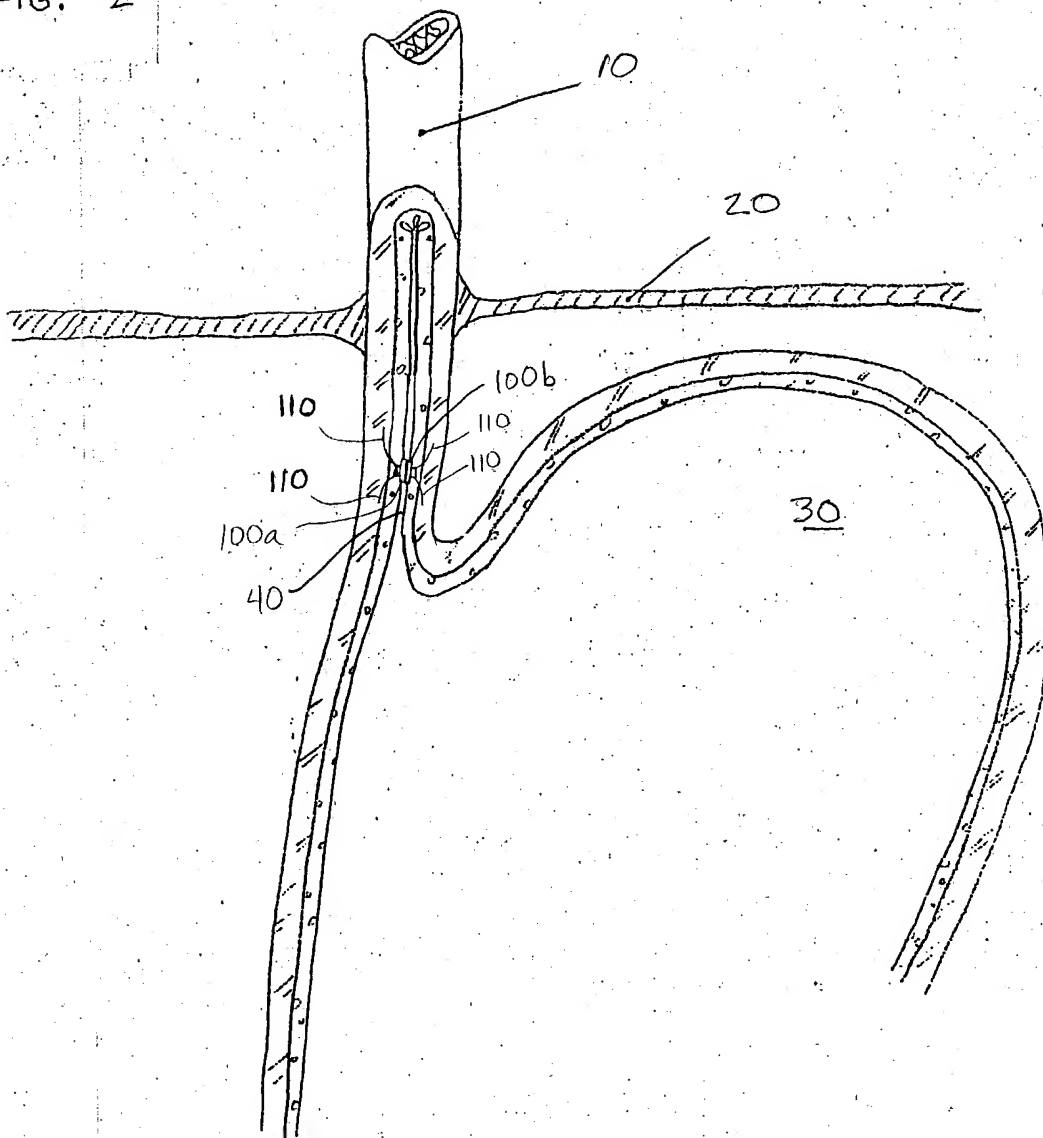
787/006

FIG. 1



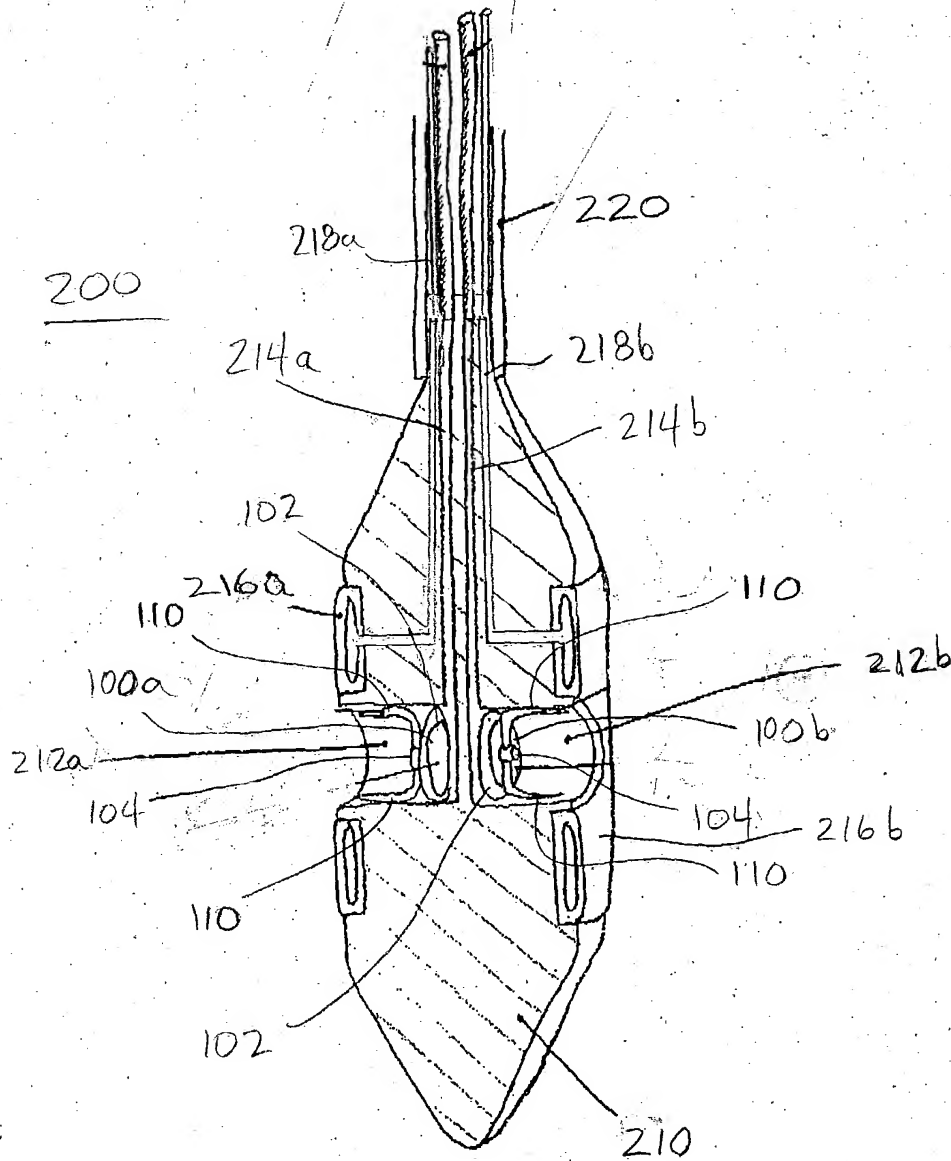
787/006

FIG. 2



787/006

FIG. 3



787/006

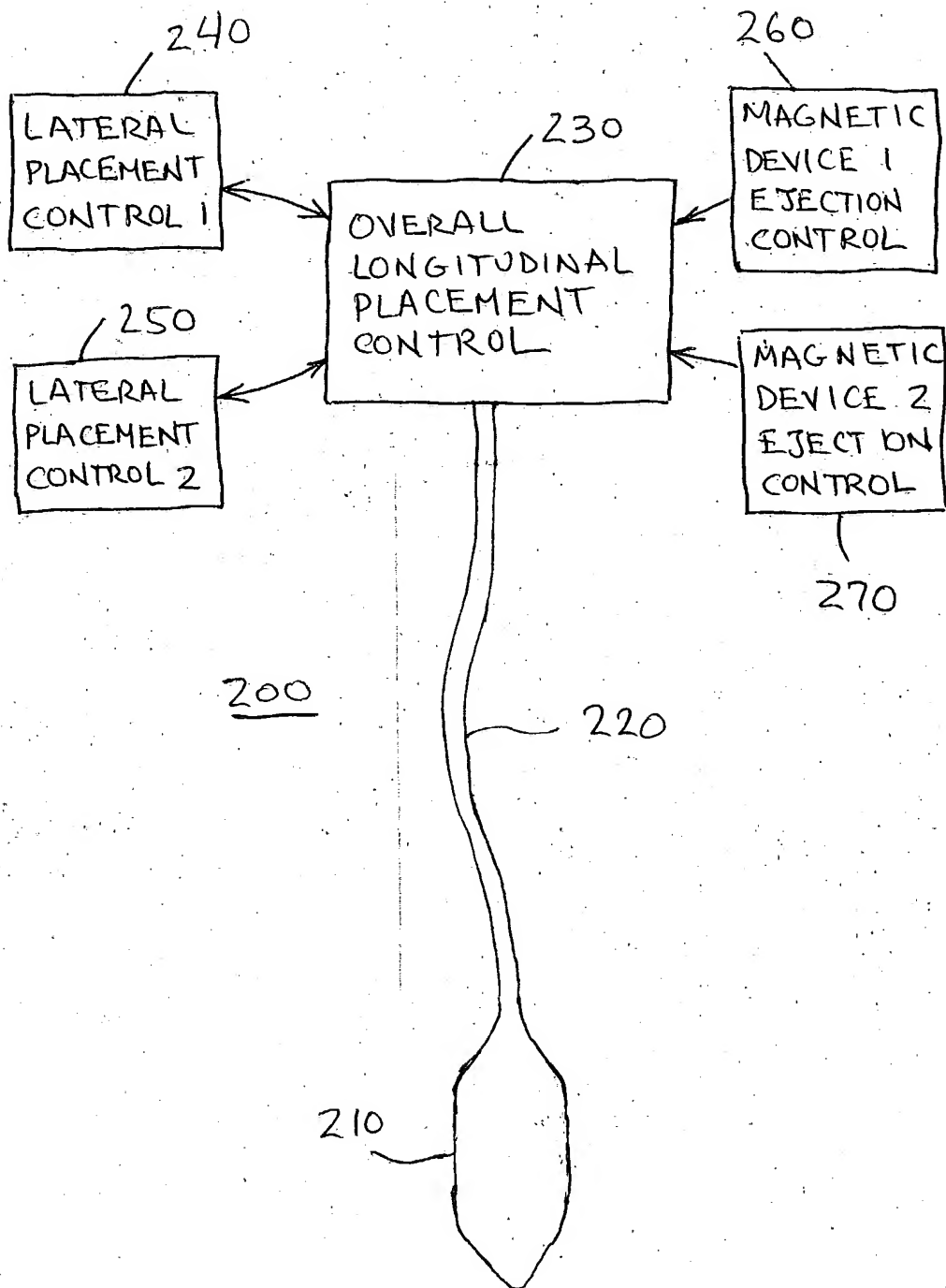
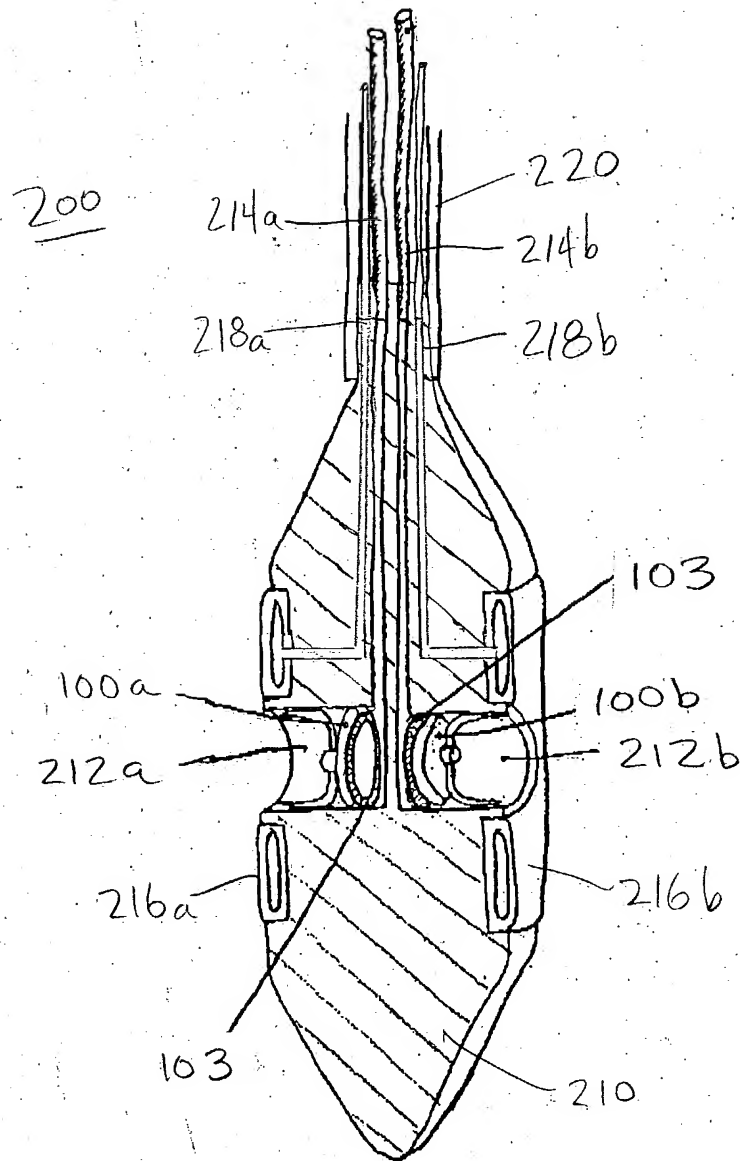


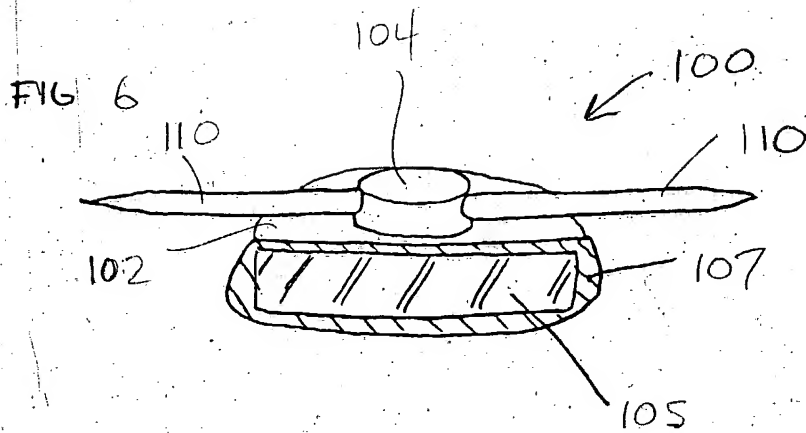
FIG. 4

787/006

FIG. 5



787/006



787/006

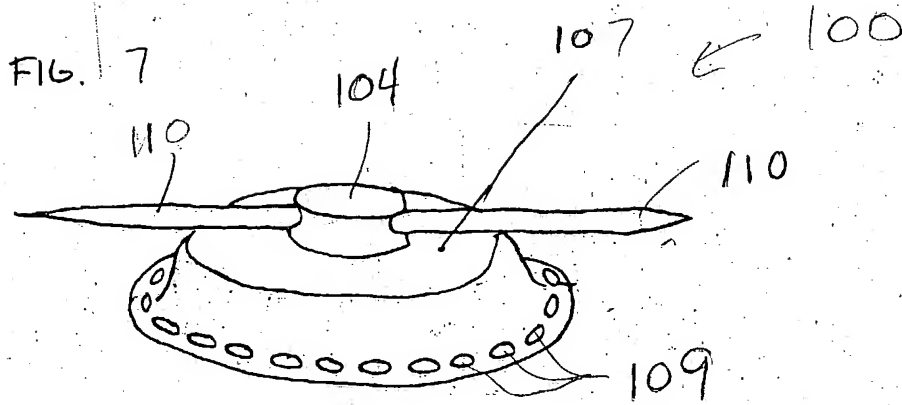
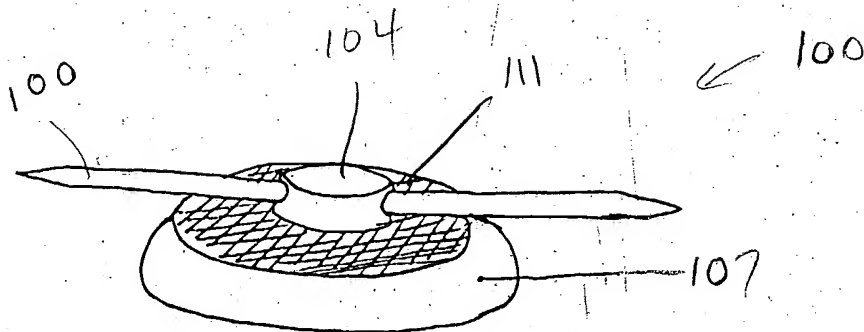
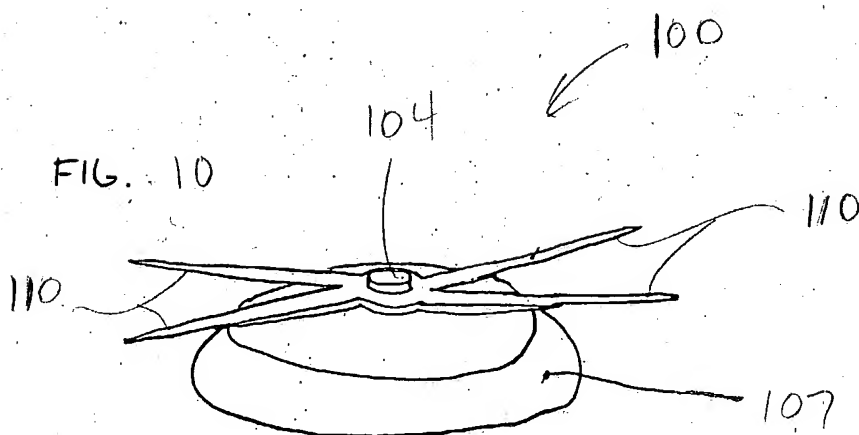
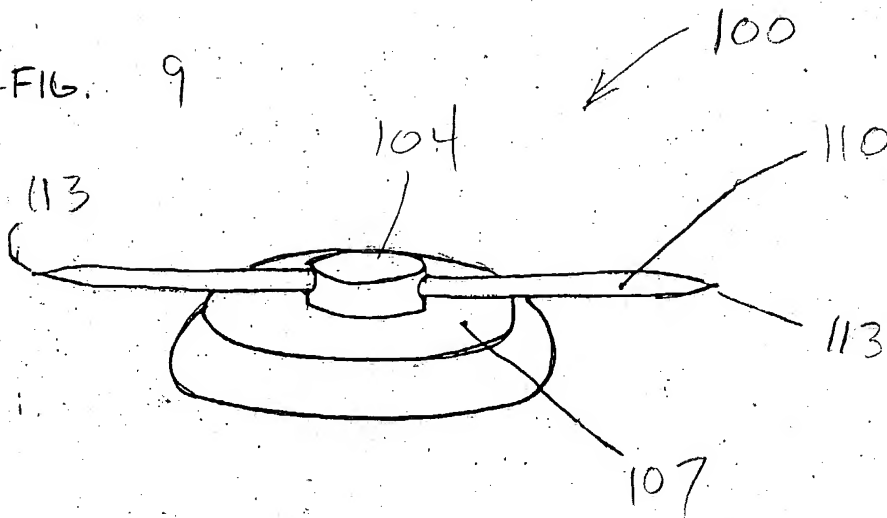


FIG. 8

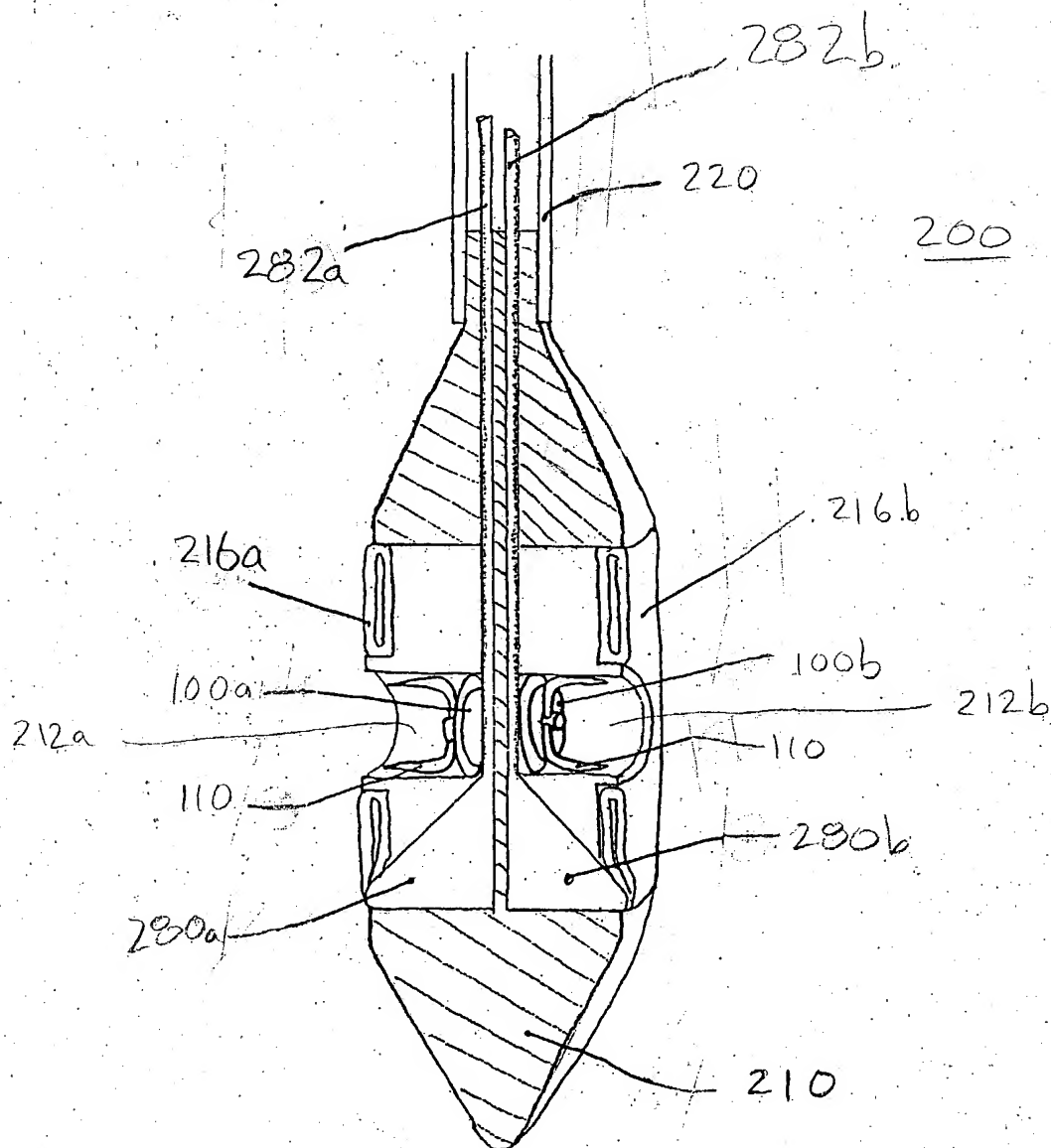


787/006

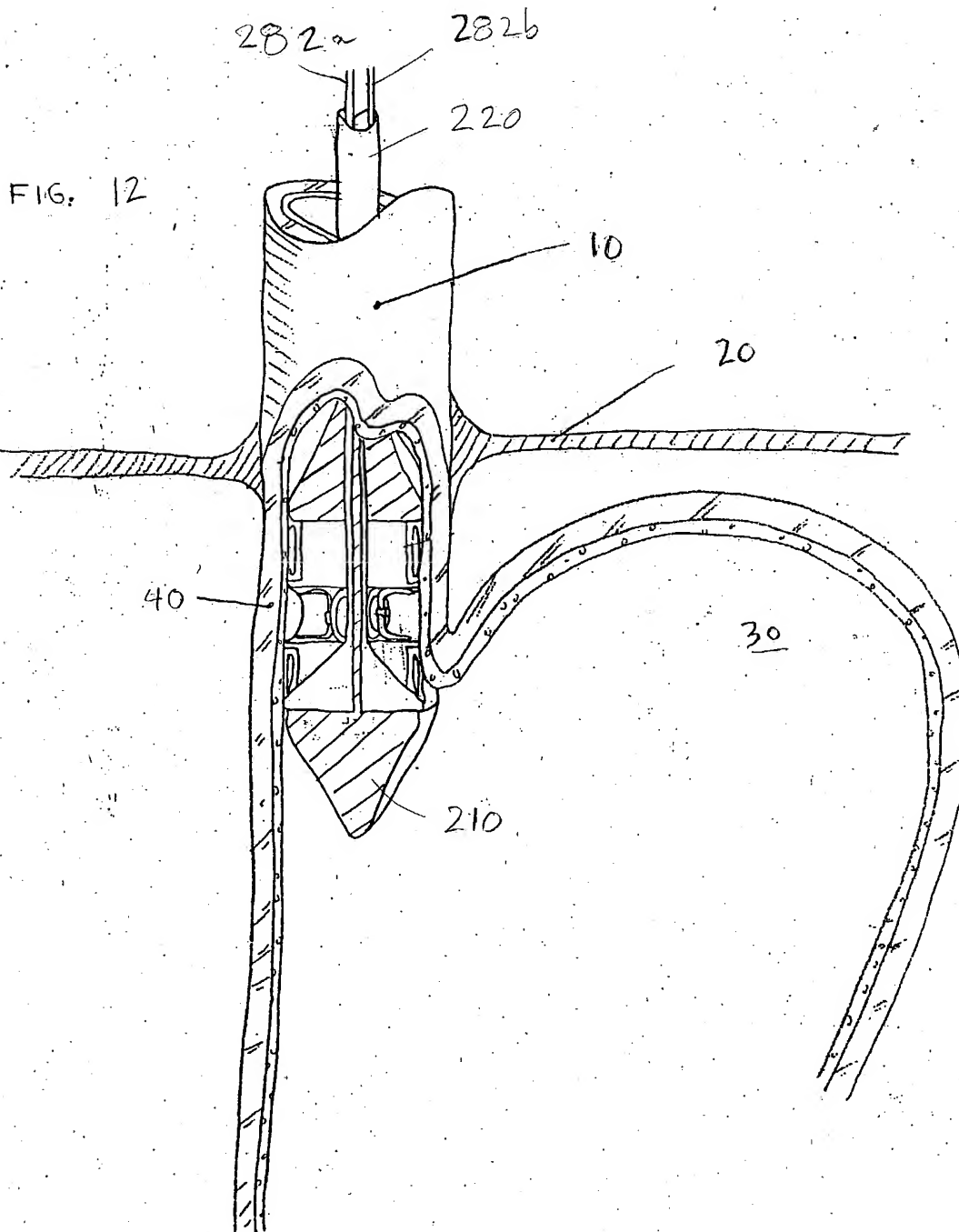


787/006

FIG 11

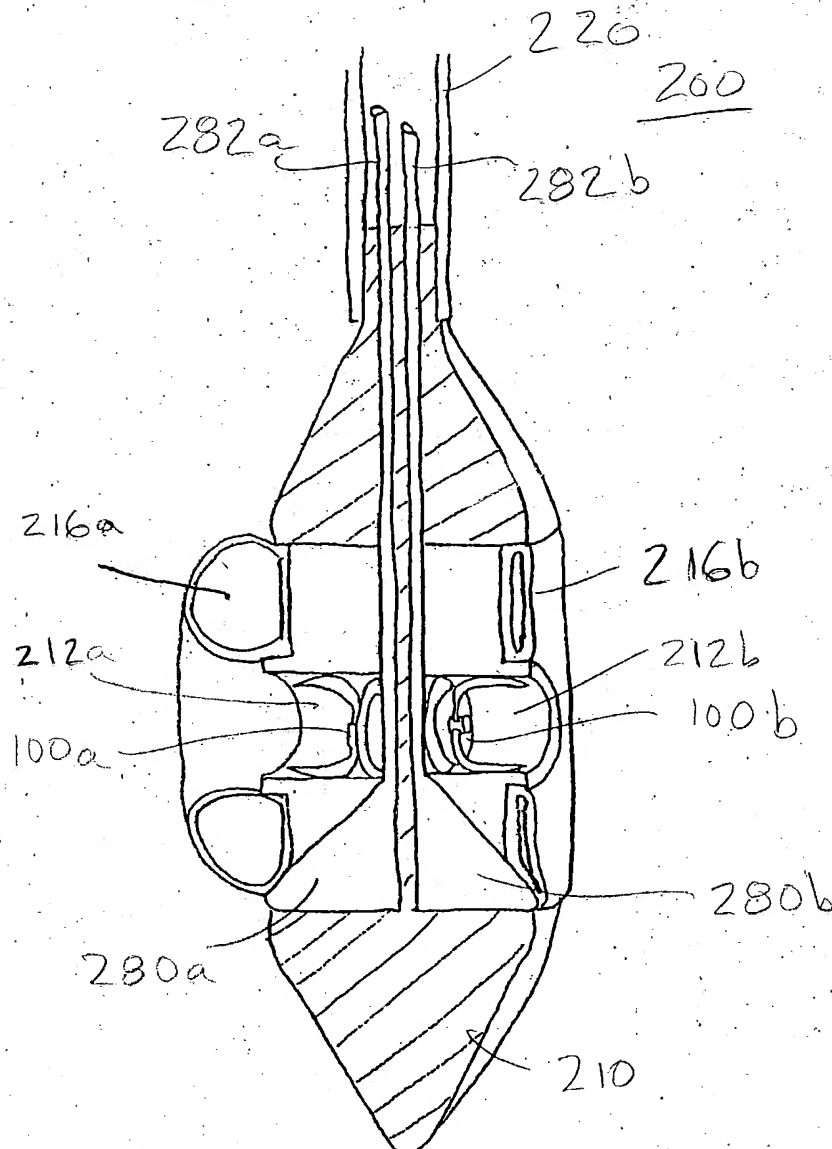


787/006



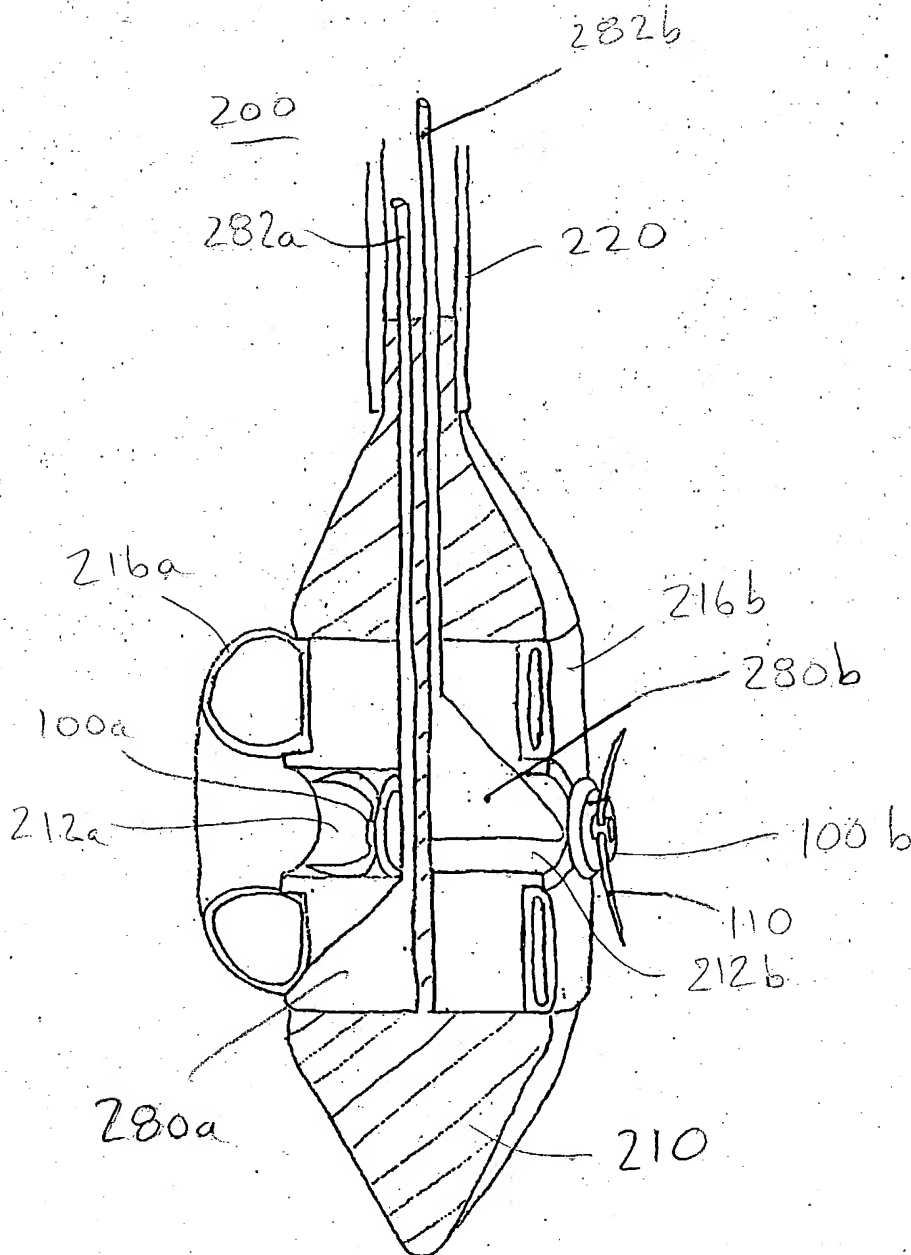
787/006

FIG. 13



787/006

FIG. 14



787/006

FIG. 15

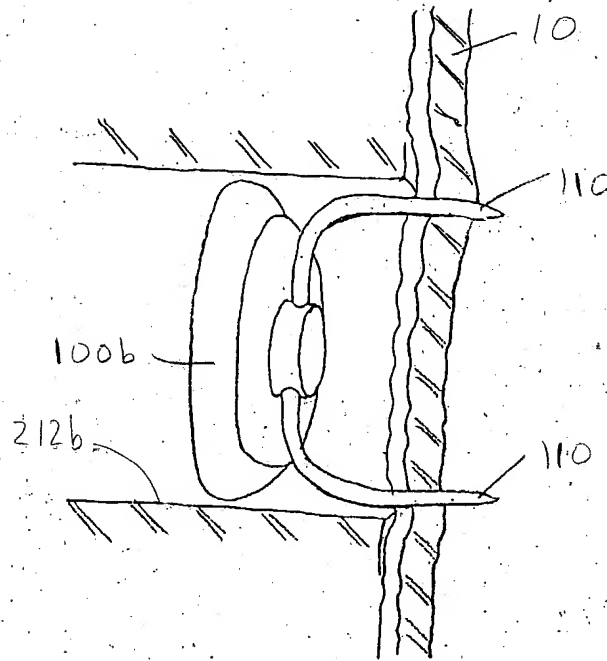
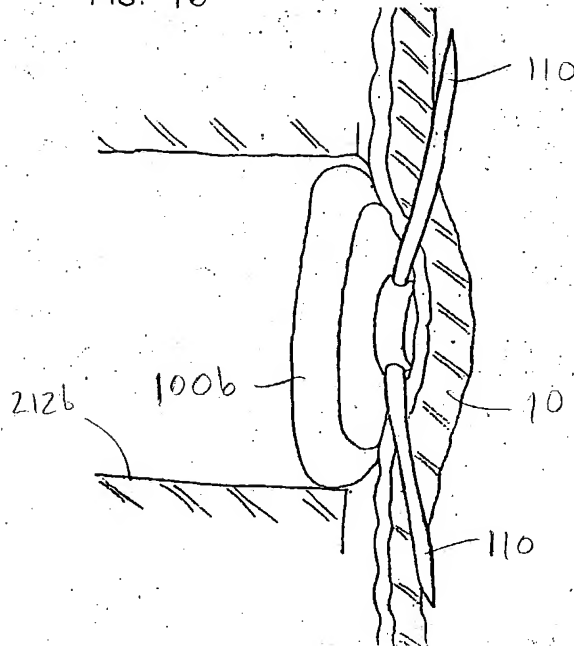
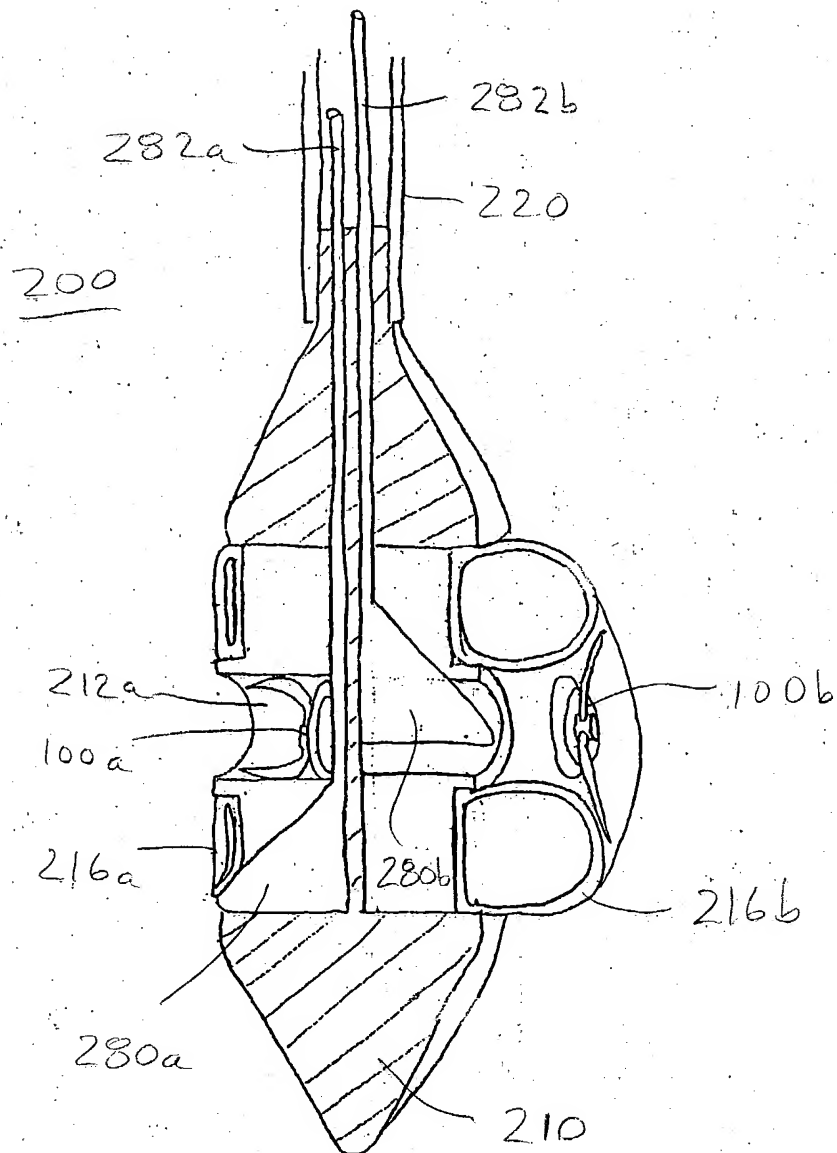


FIG. 16



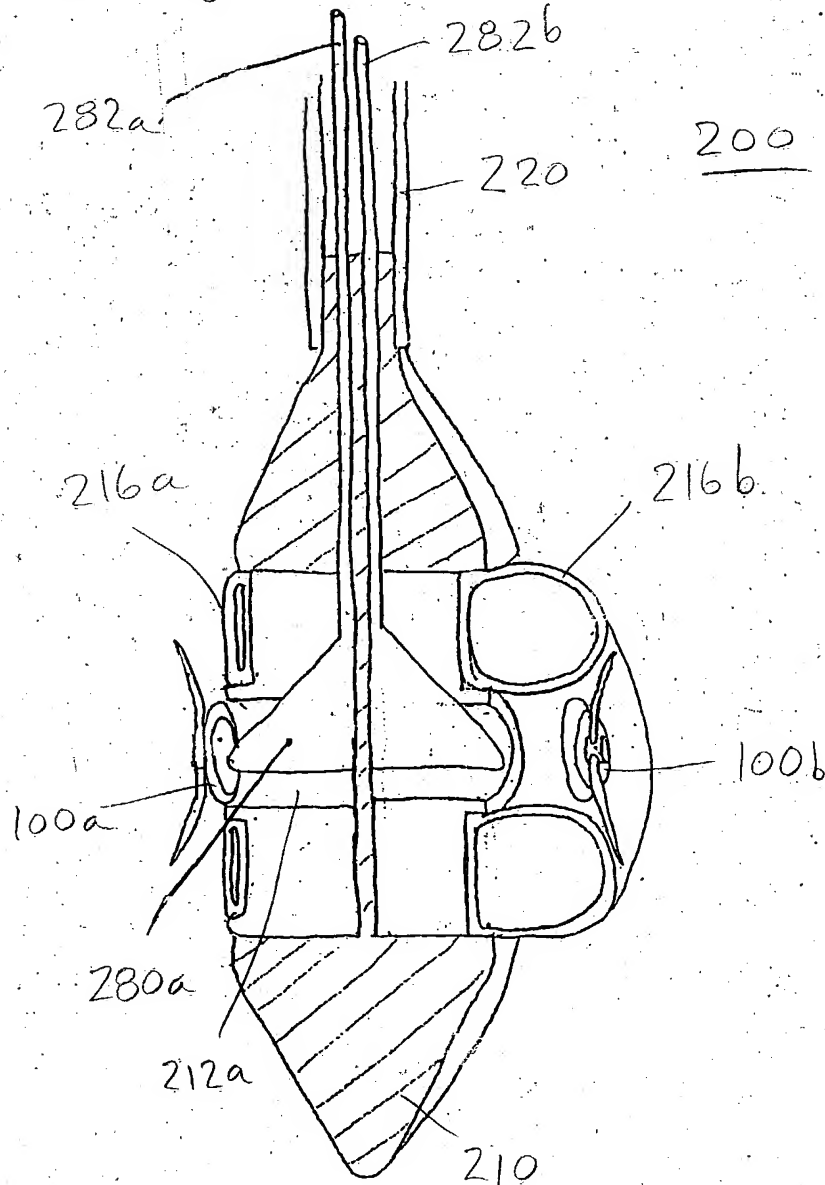
787/006

FIG. 17



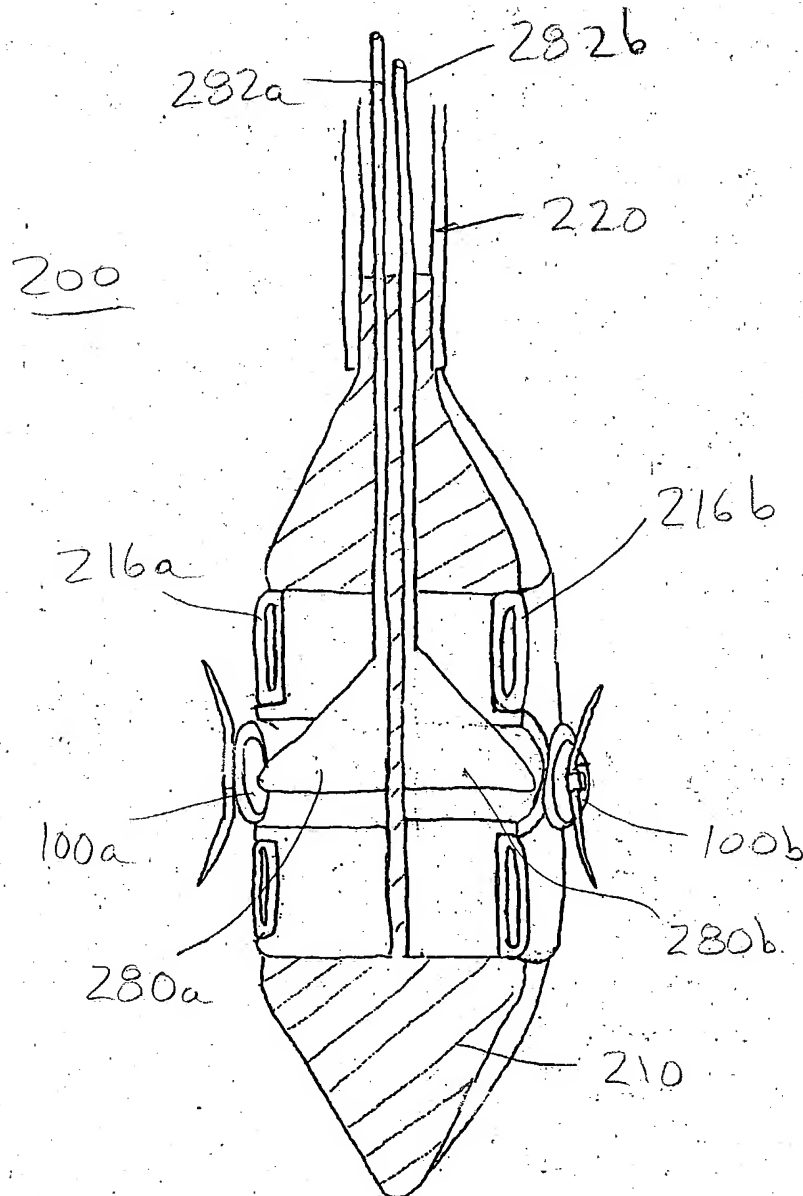
787/006

FIG. 18



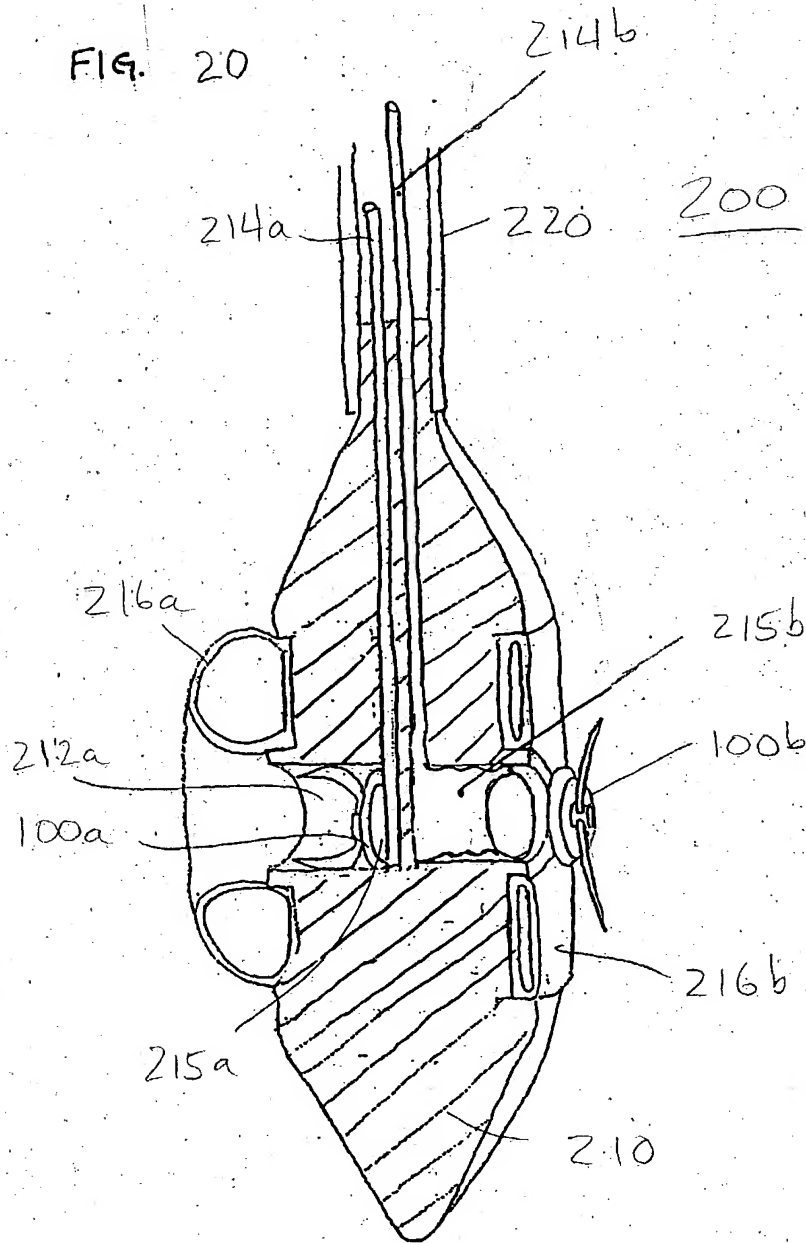
787/006

FIG 19



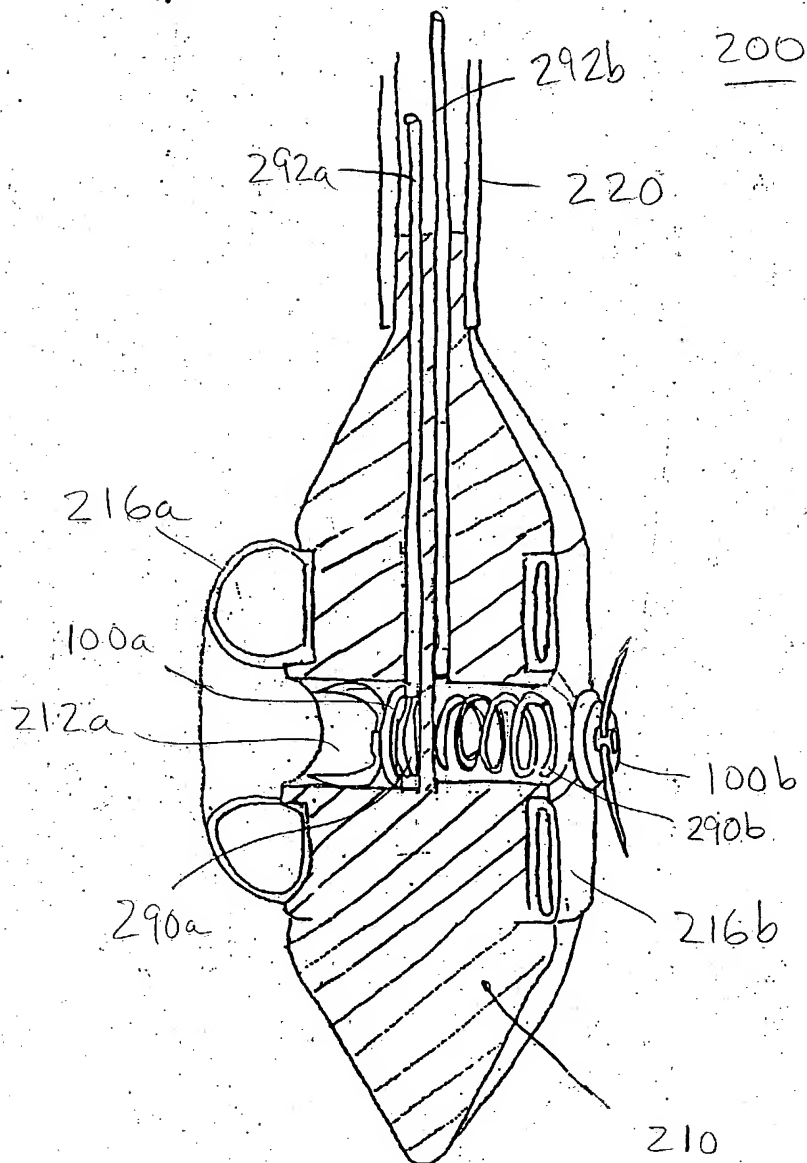
787/006

FIG. 20



787/006

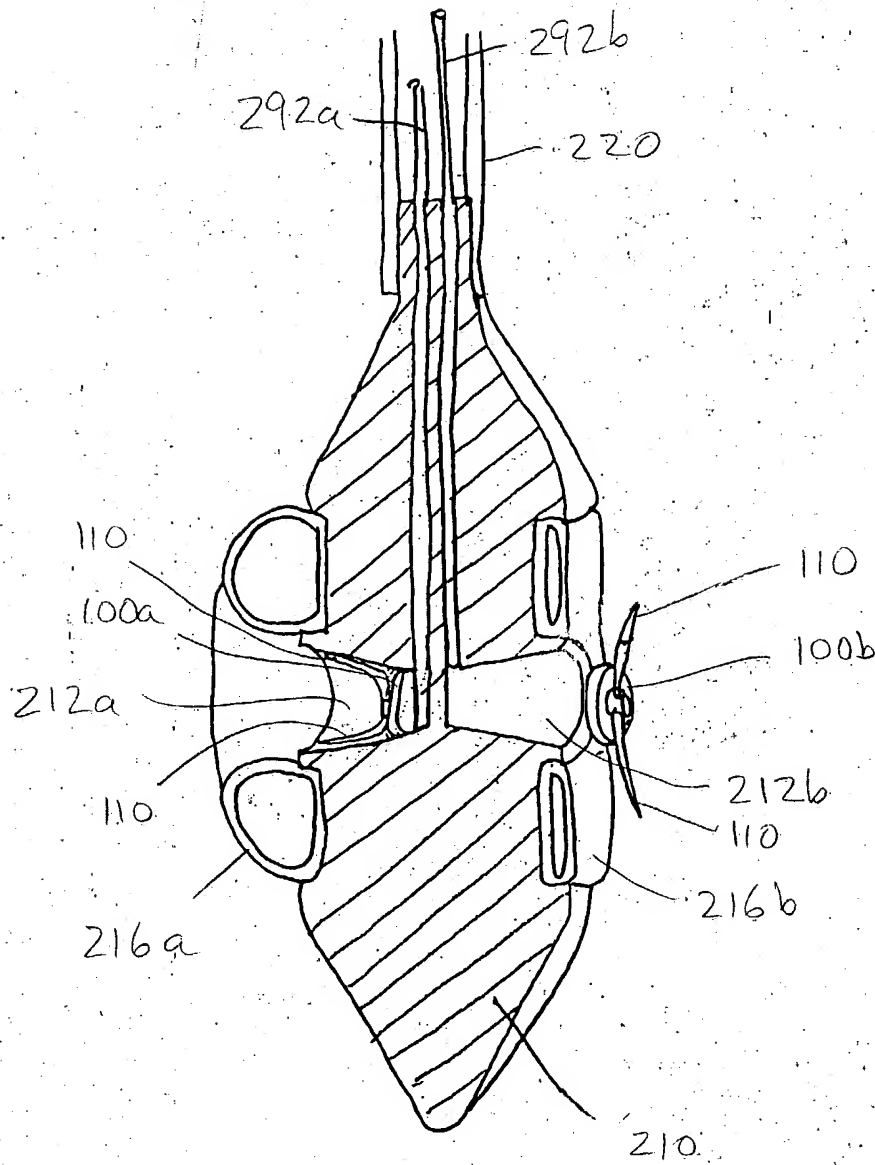
FIG. 21



787/006

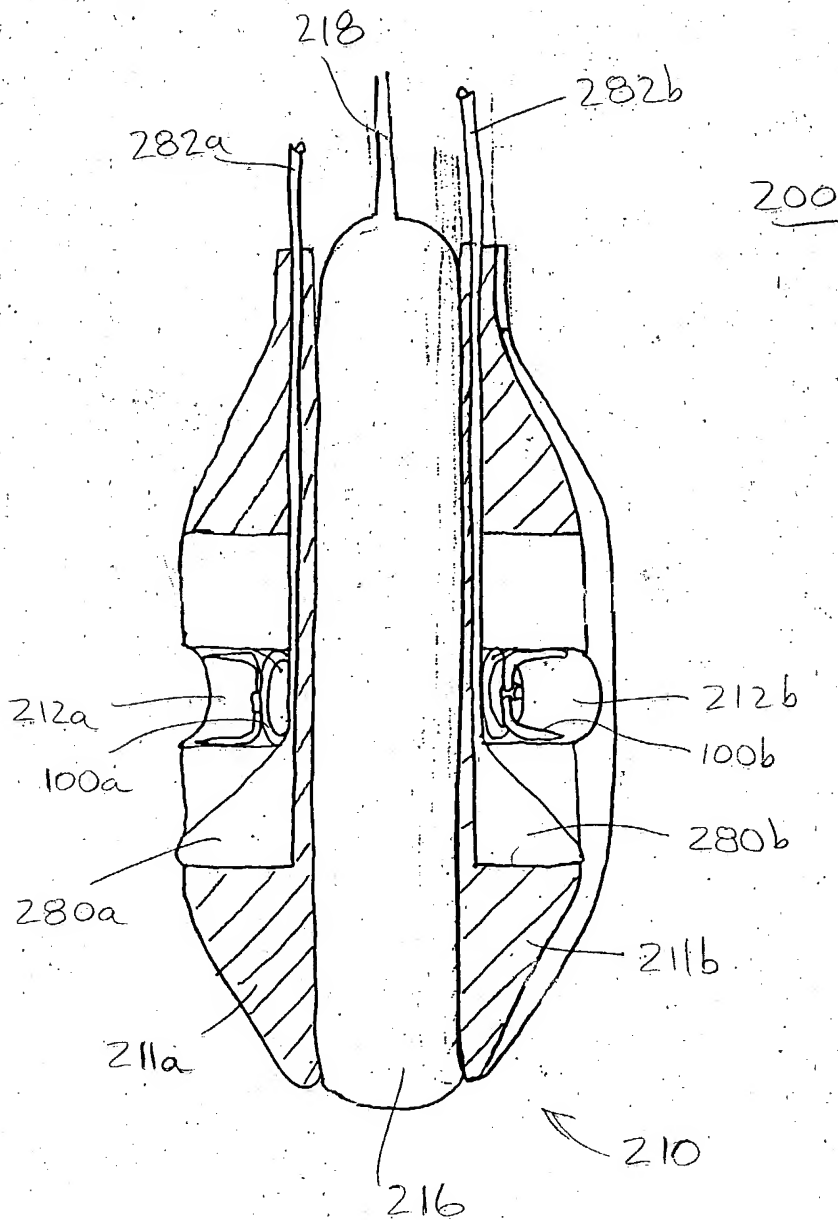
FIG. 22

200

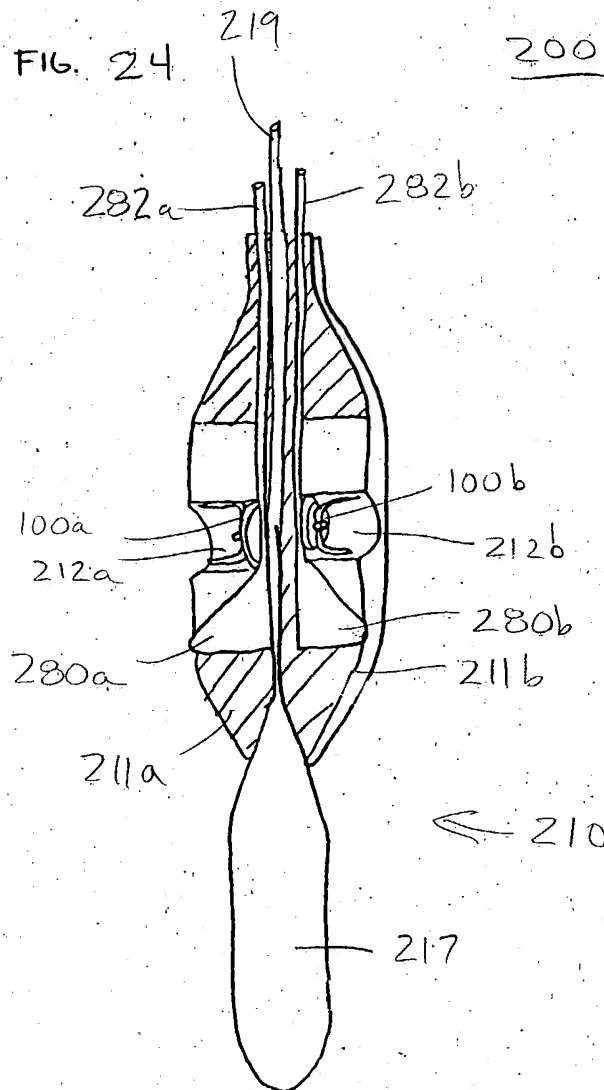


787/006

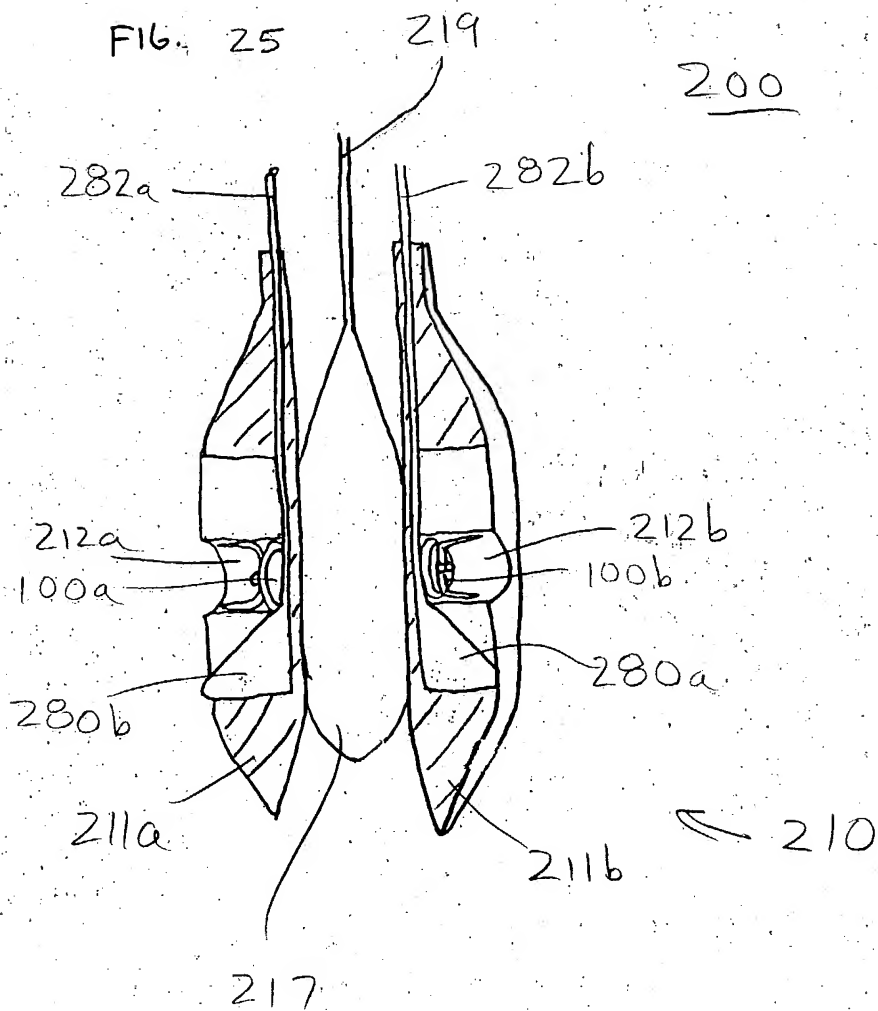
FIG. 23



787/006

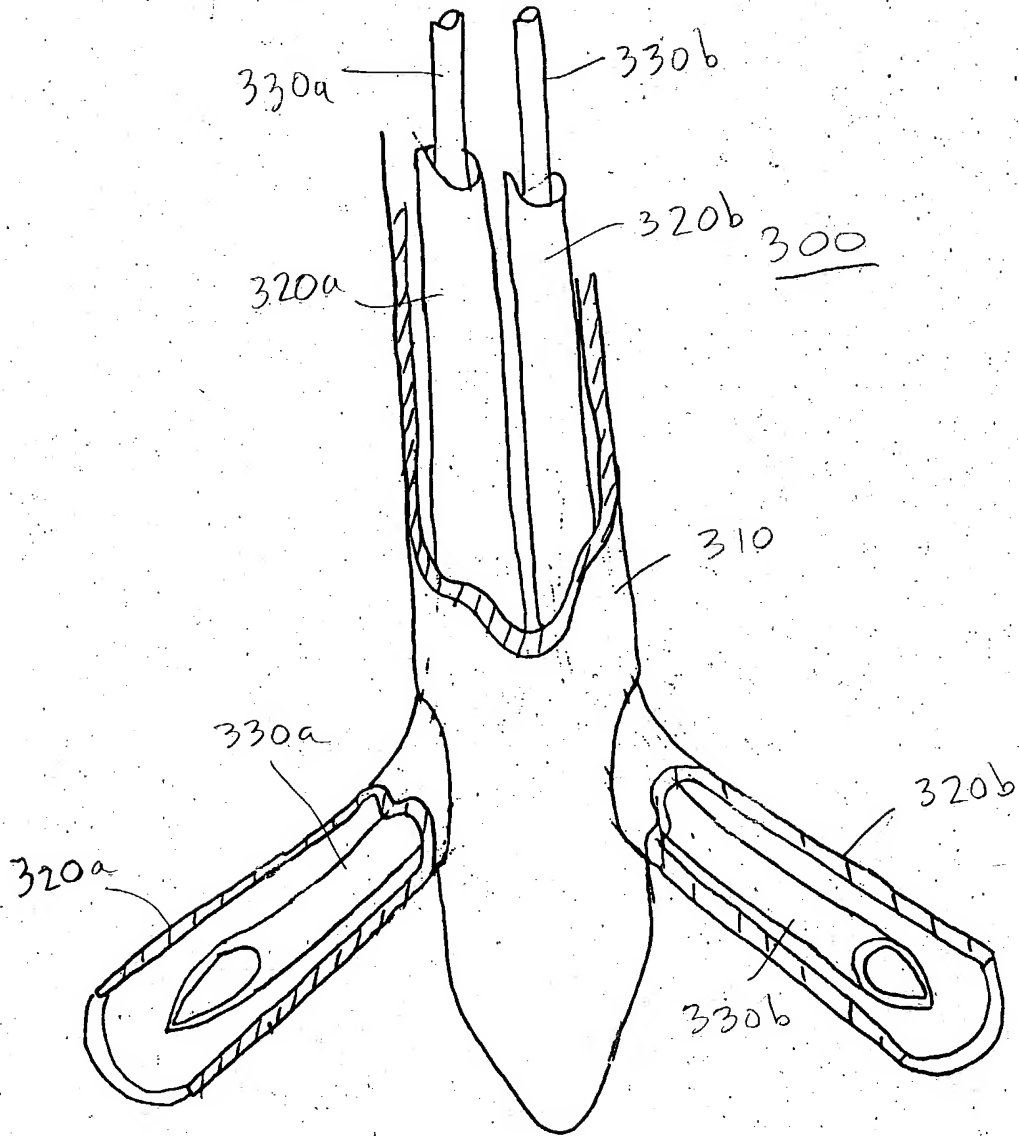


787/006

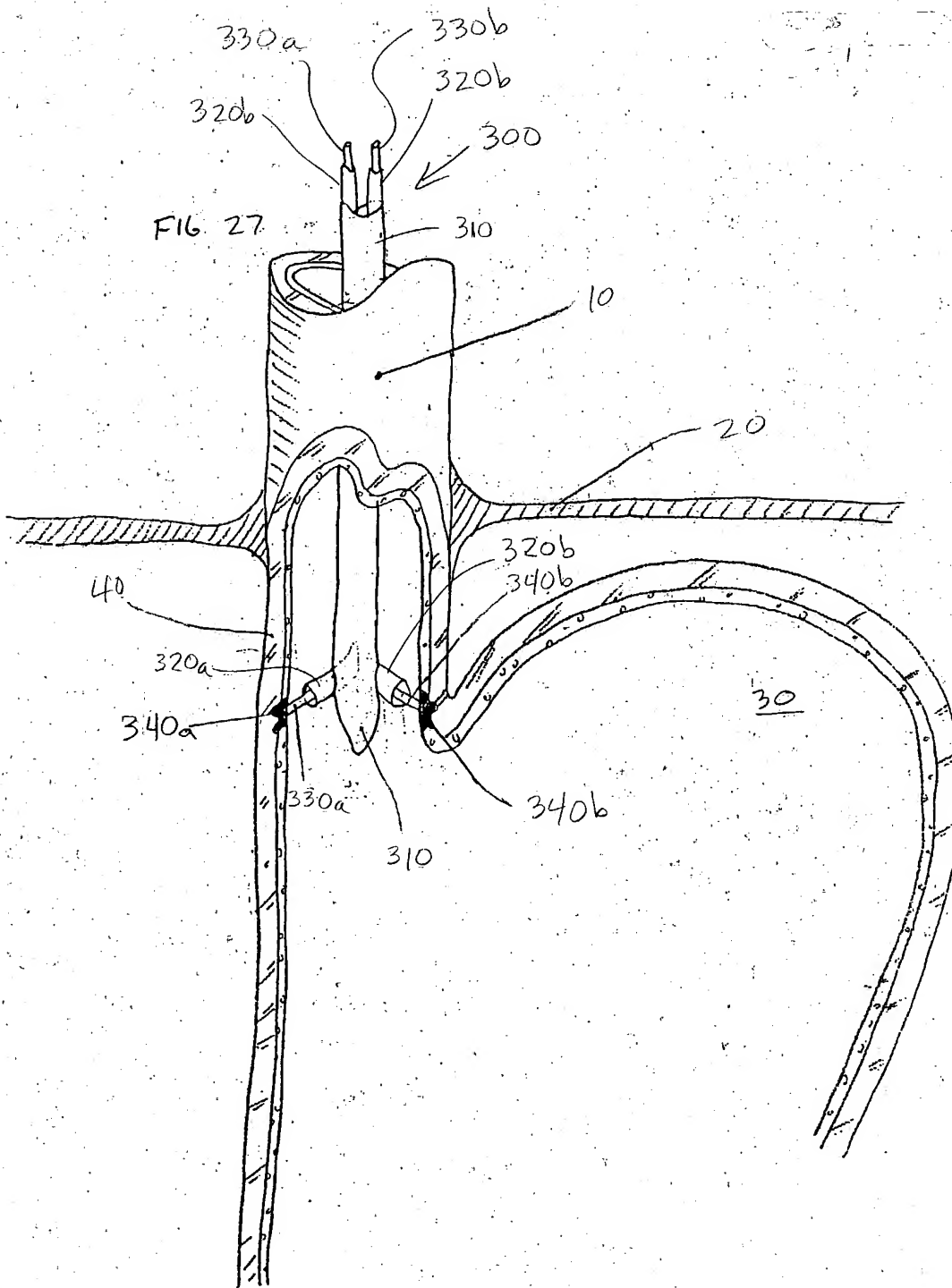


787/006

FIG. 26

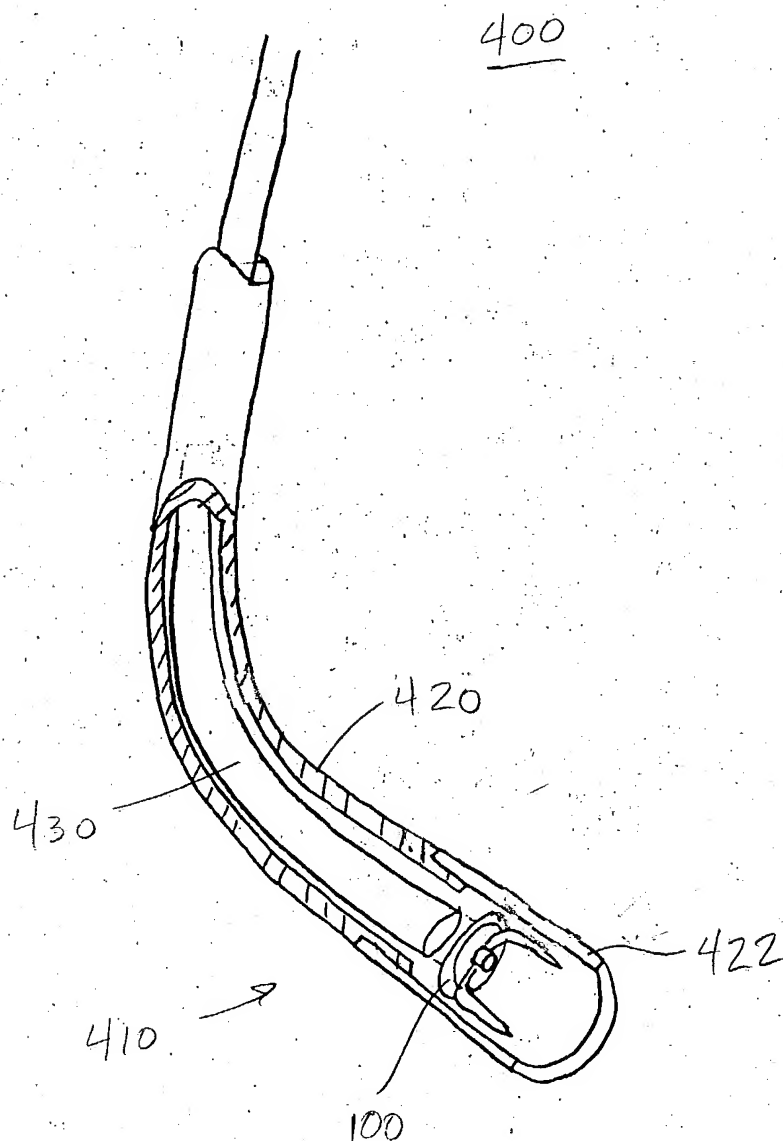


787/006



787/006

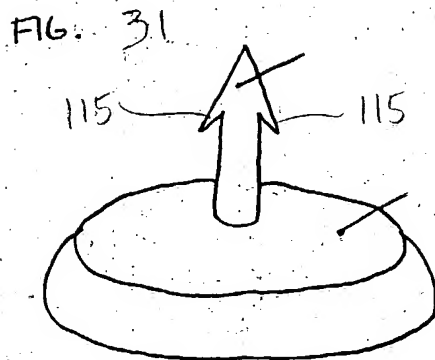
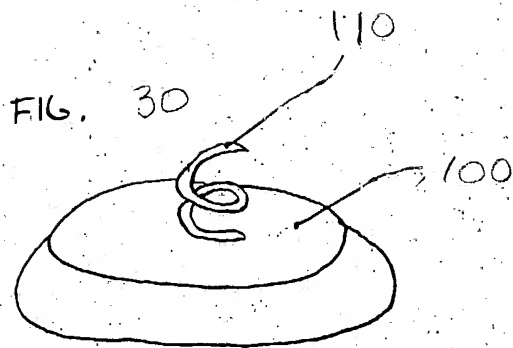
FIG. 28



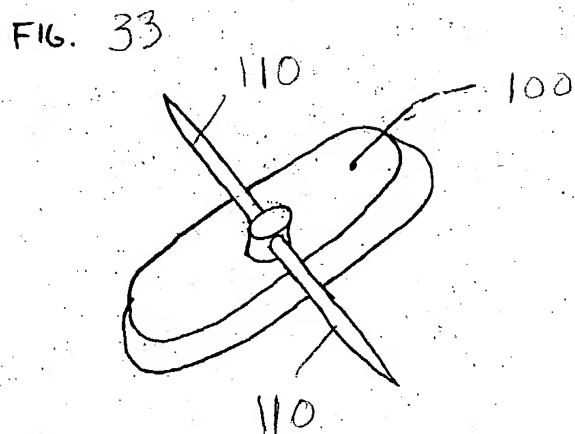
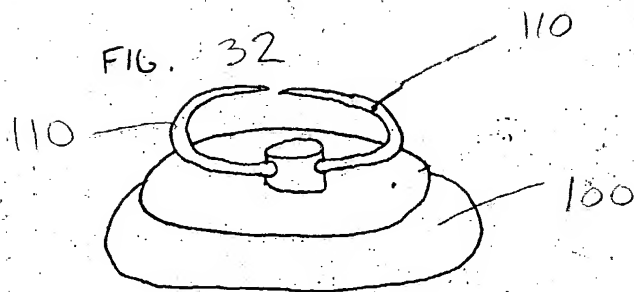
400



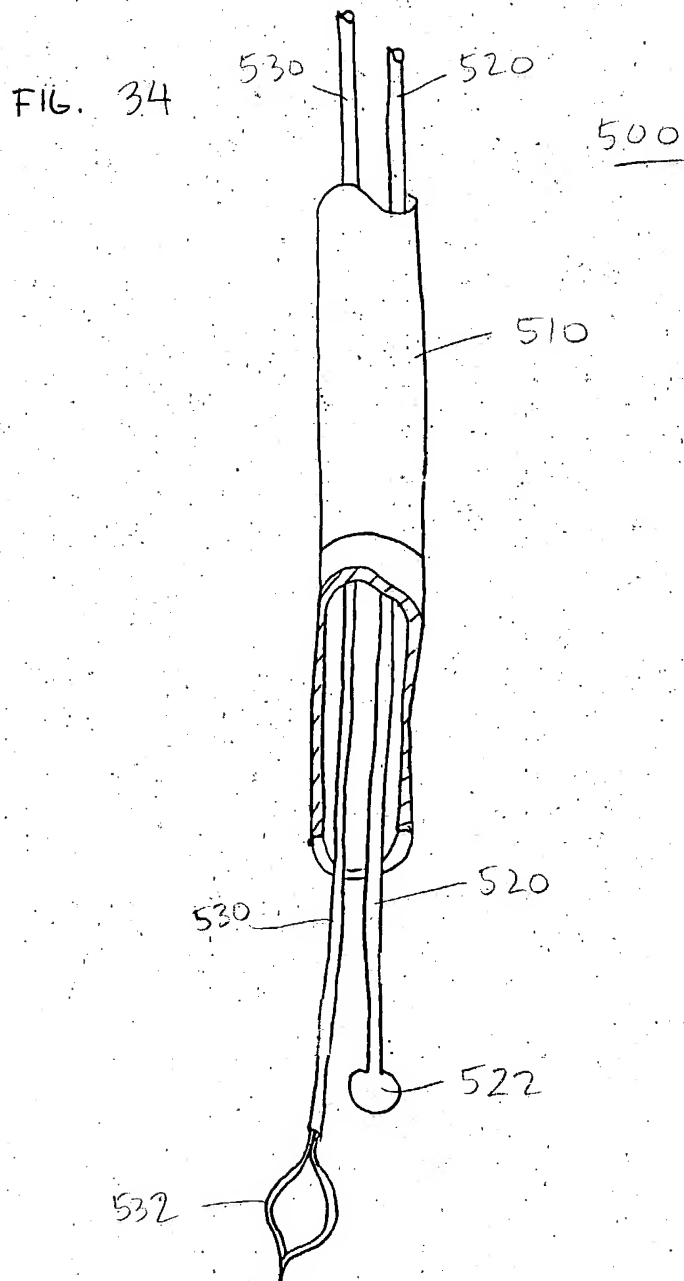
787/006



787/006

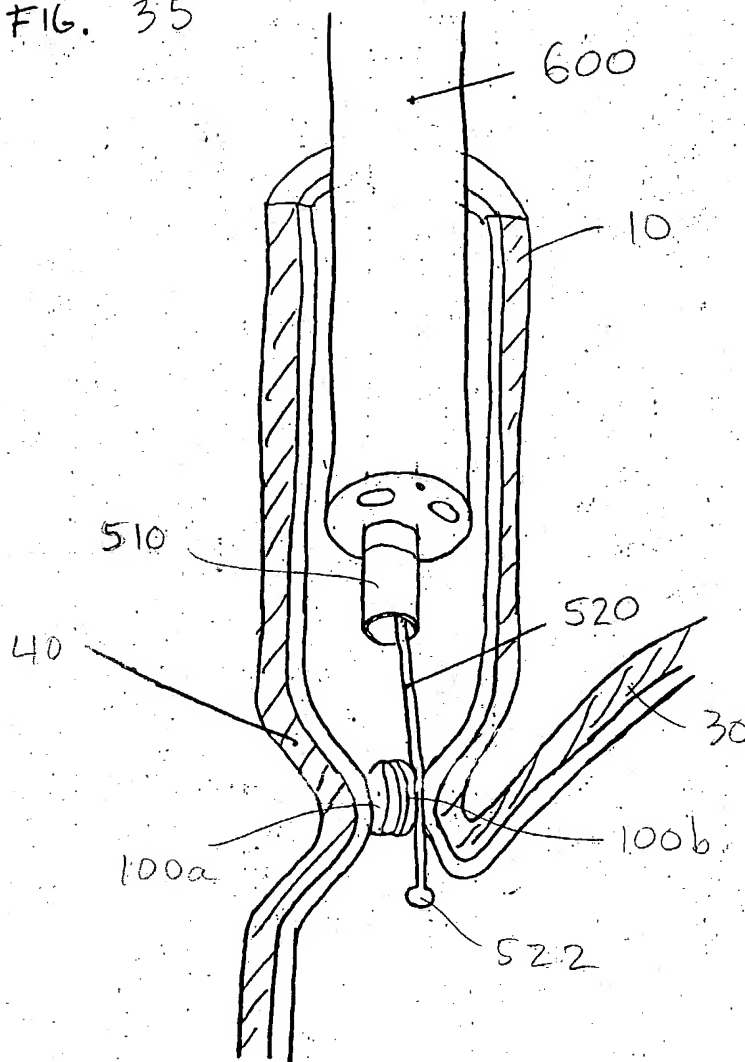


787/006



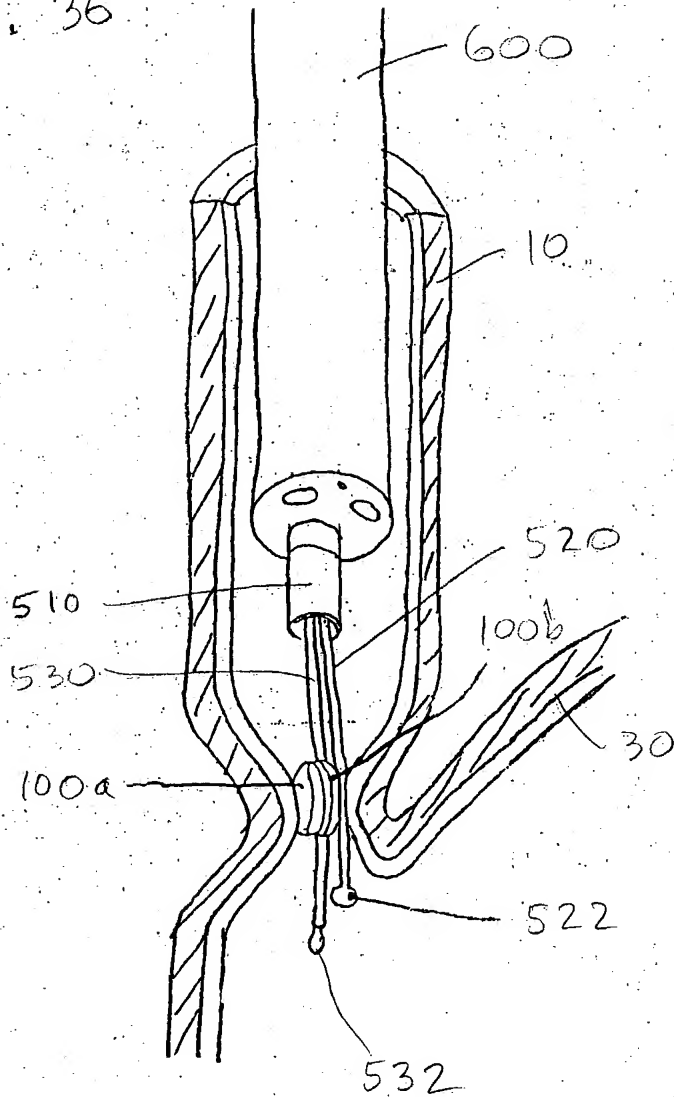
787/006

FIG. 35



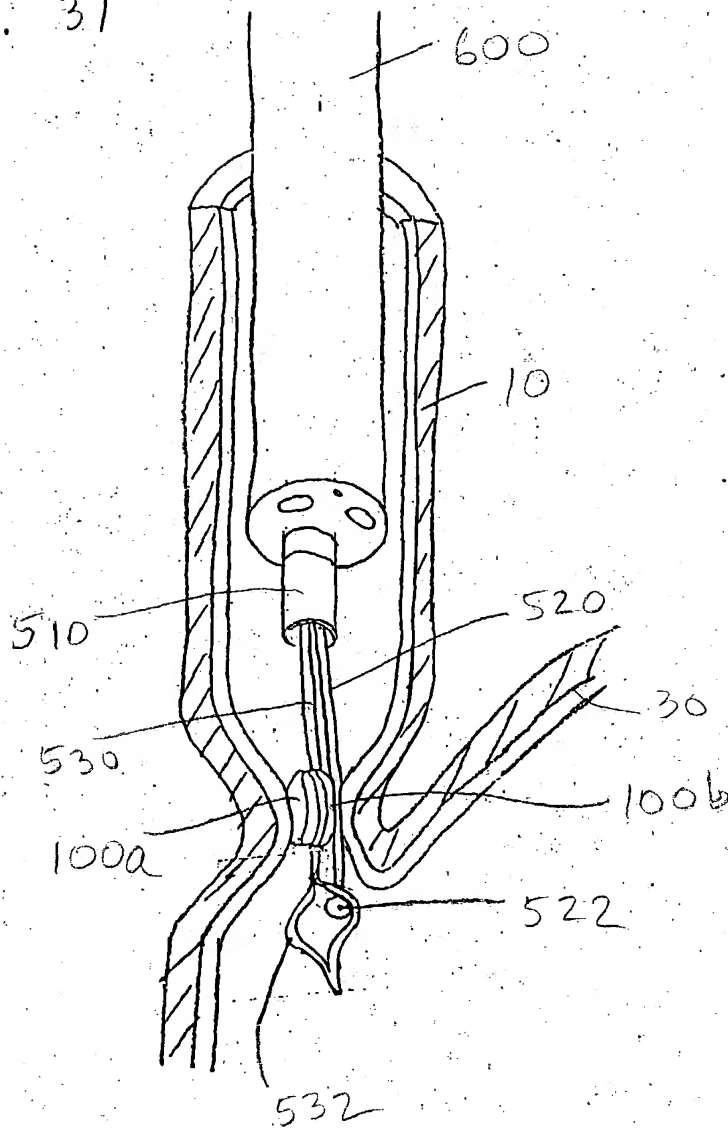
787/006

FIG. 36



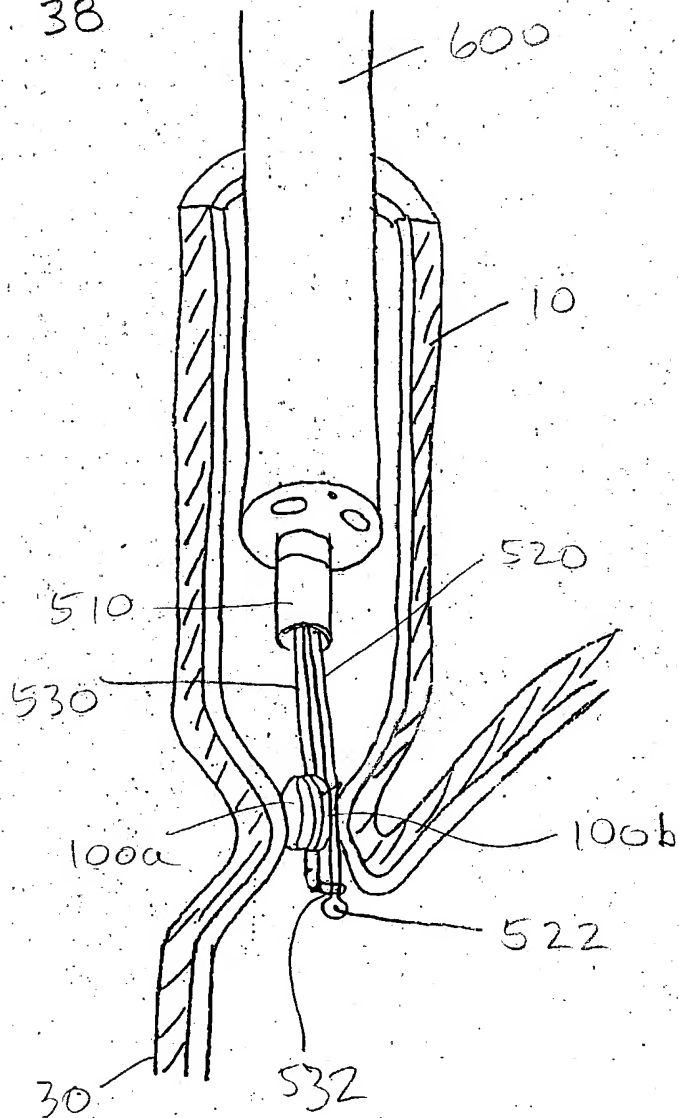
787/006

FIG. 37

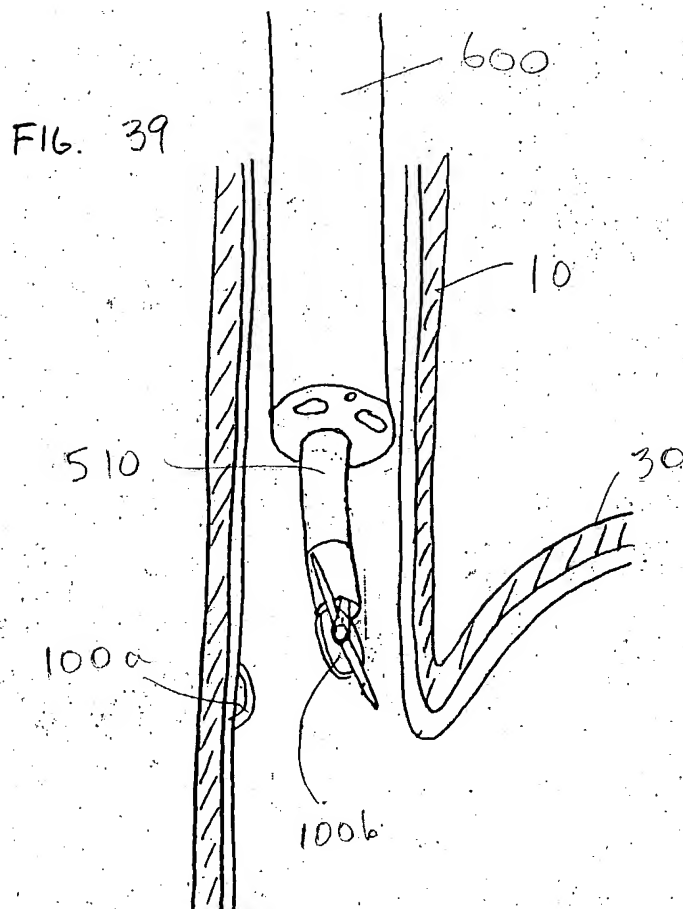


787/006

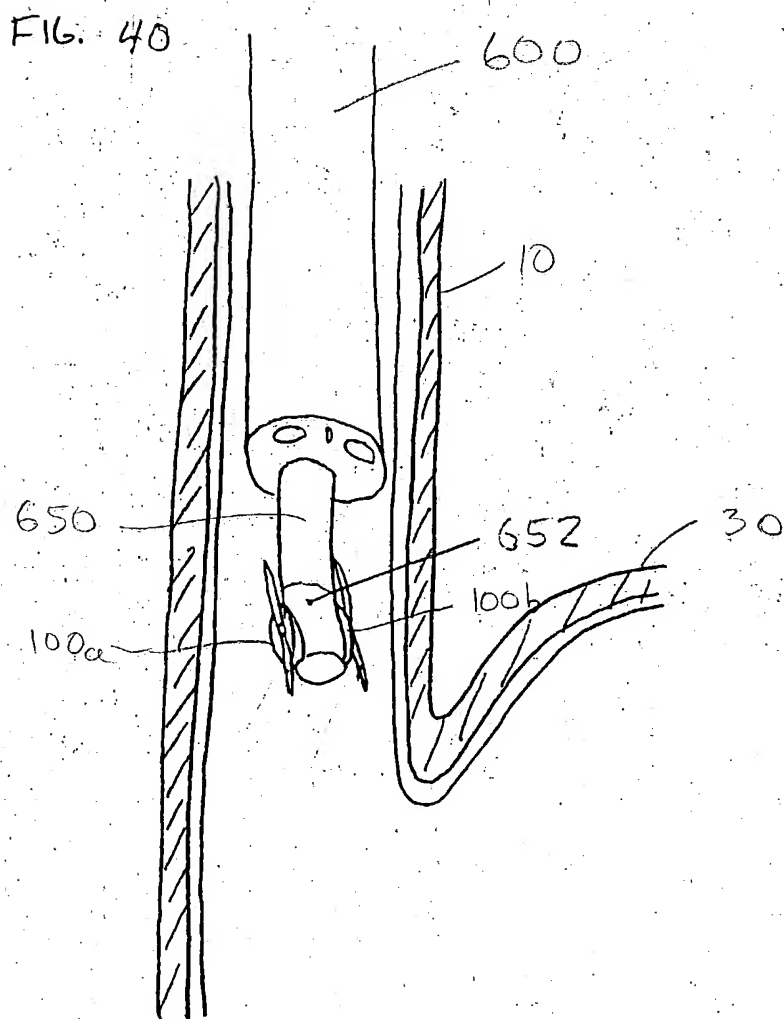
FIG. 38



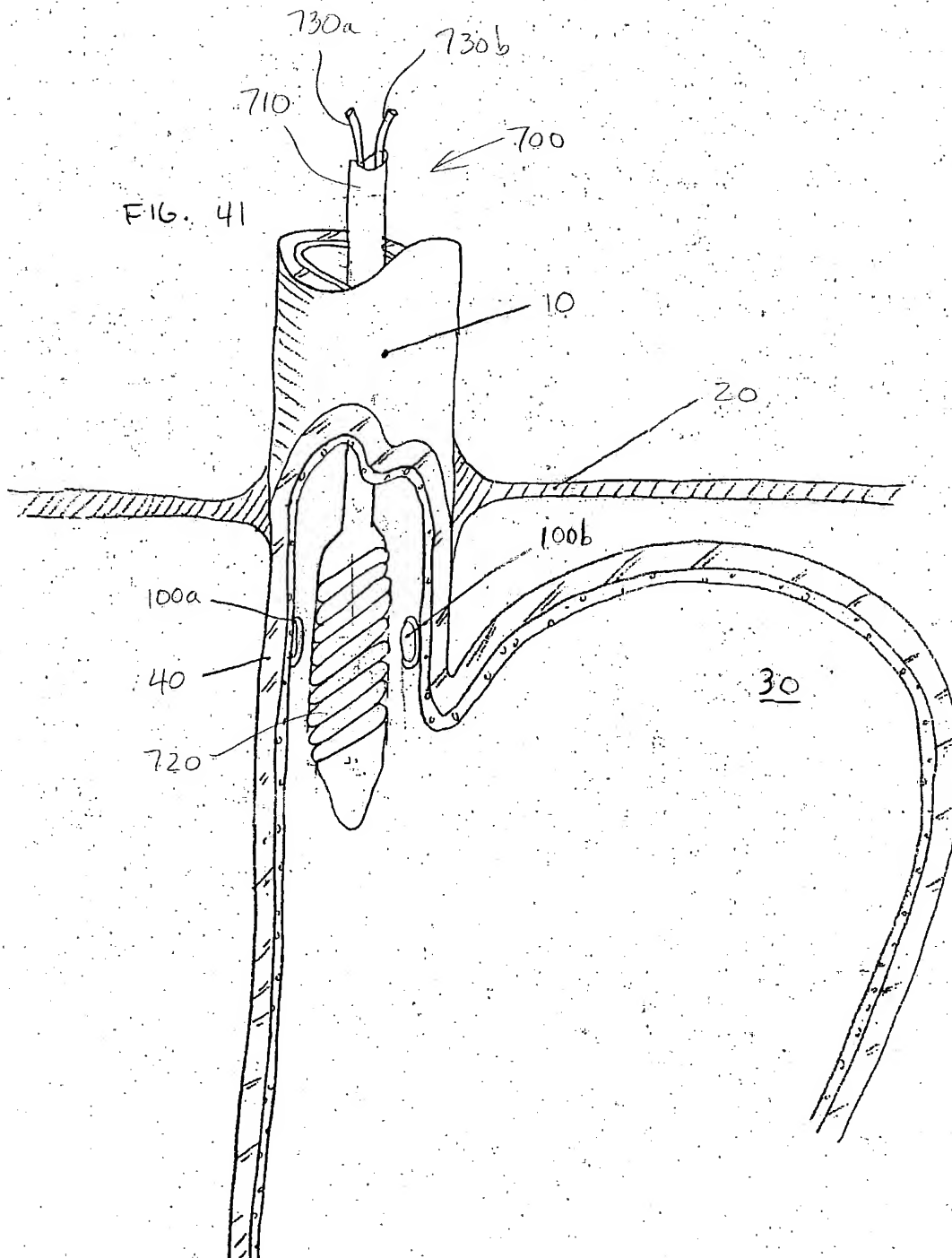
787/006



787/006



787/006



787/006

FIG. 42

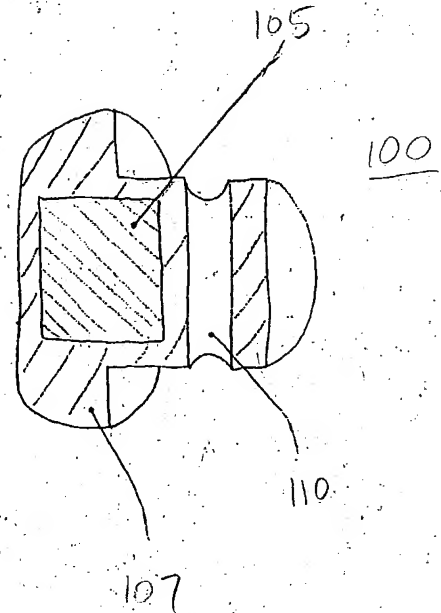
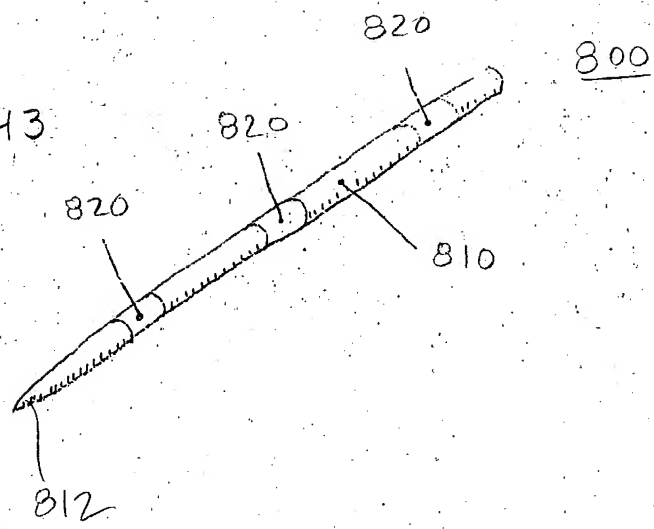
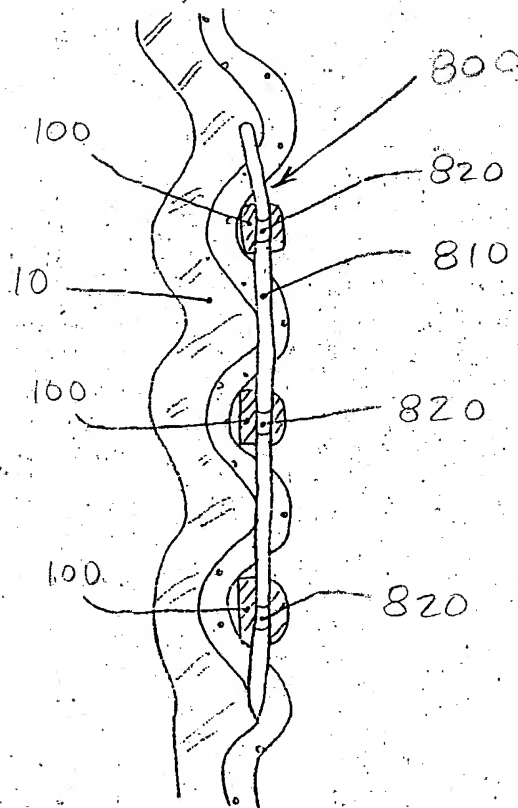


FIG. 43

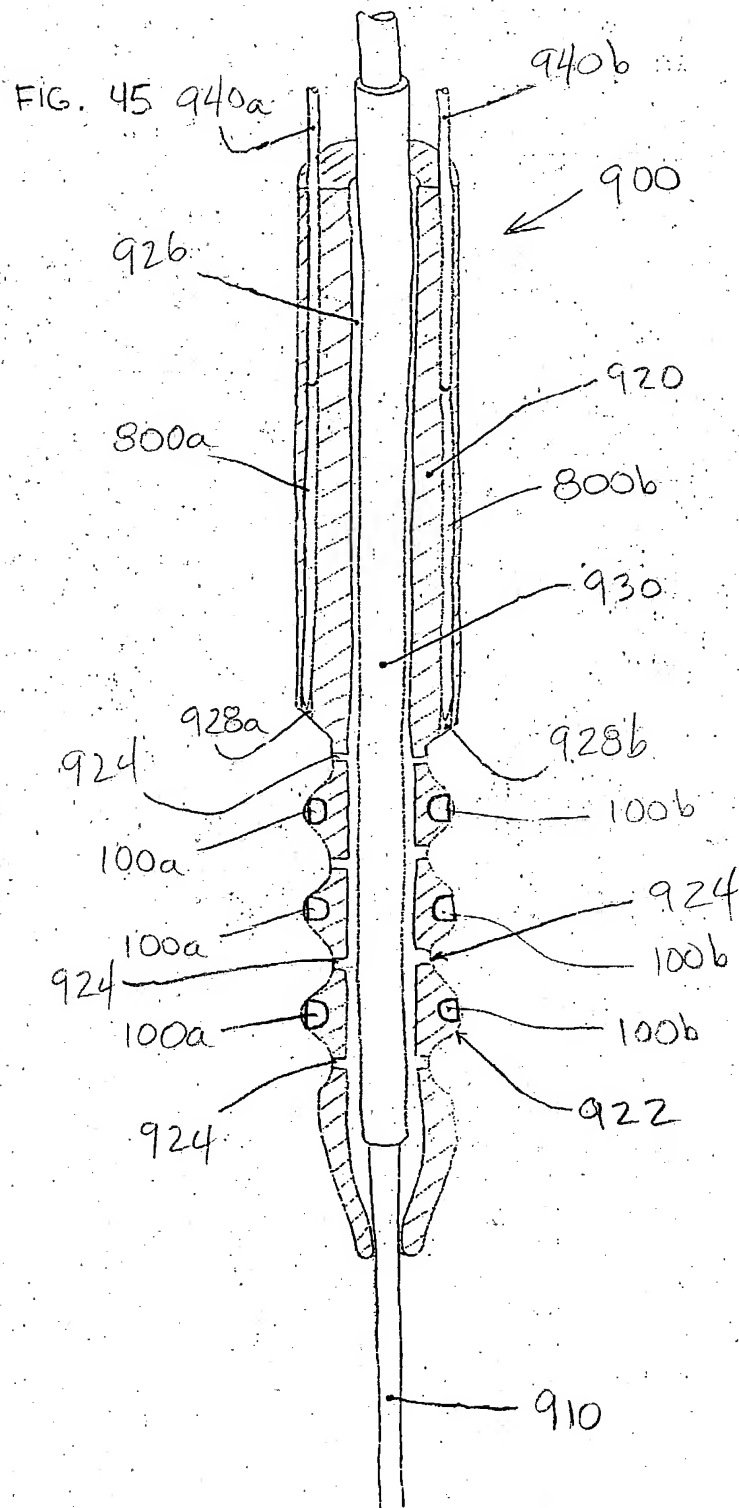


787/006

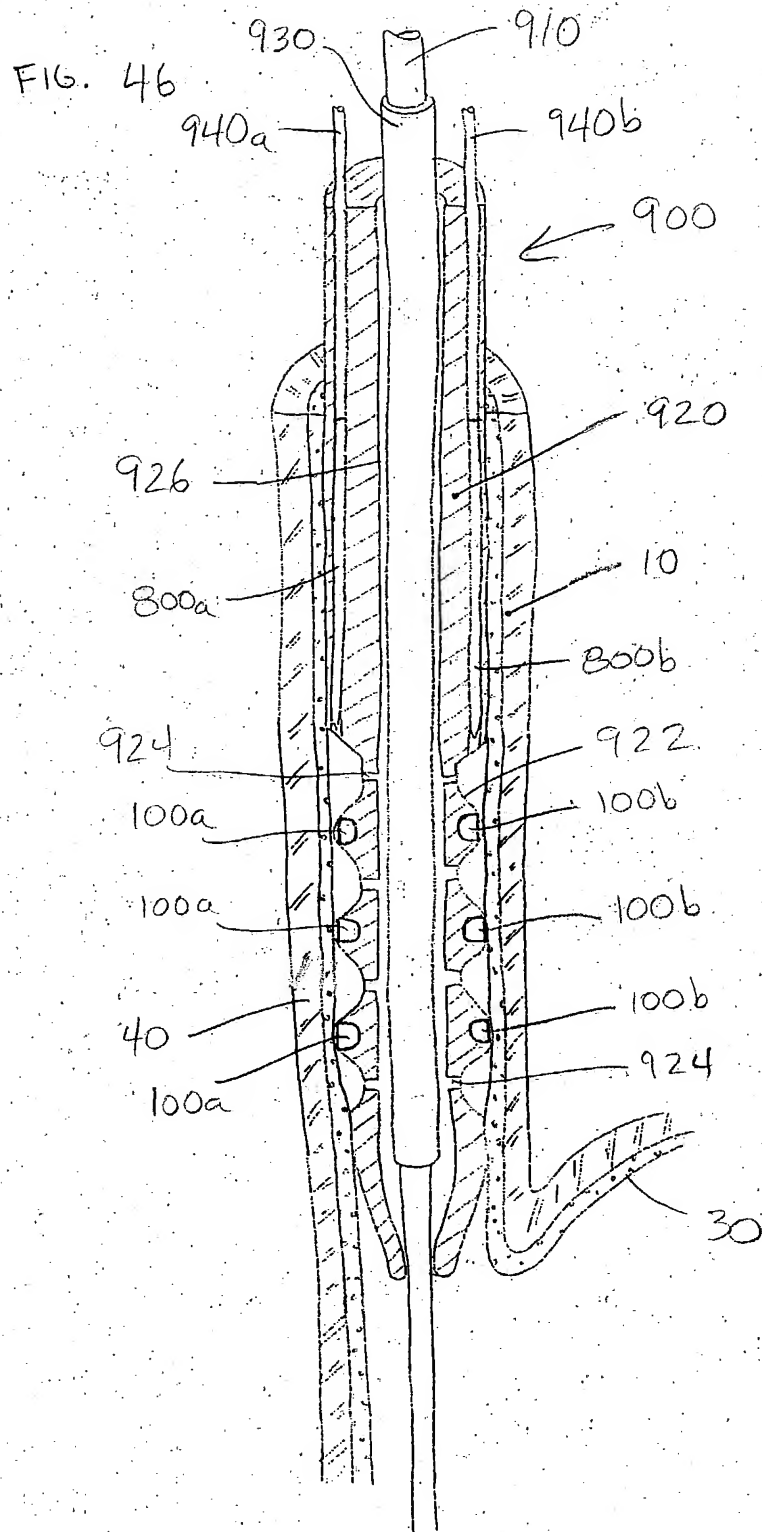
FIG. 44

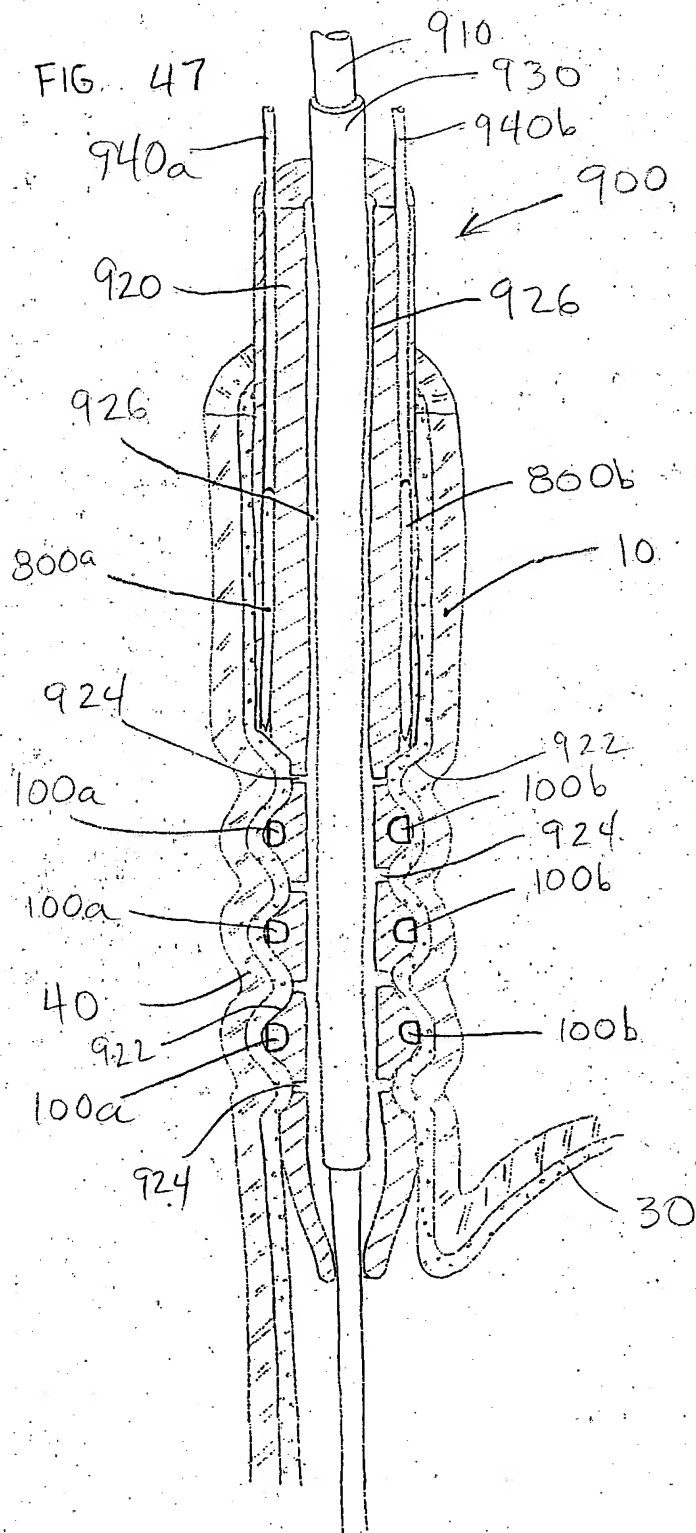


787/006

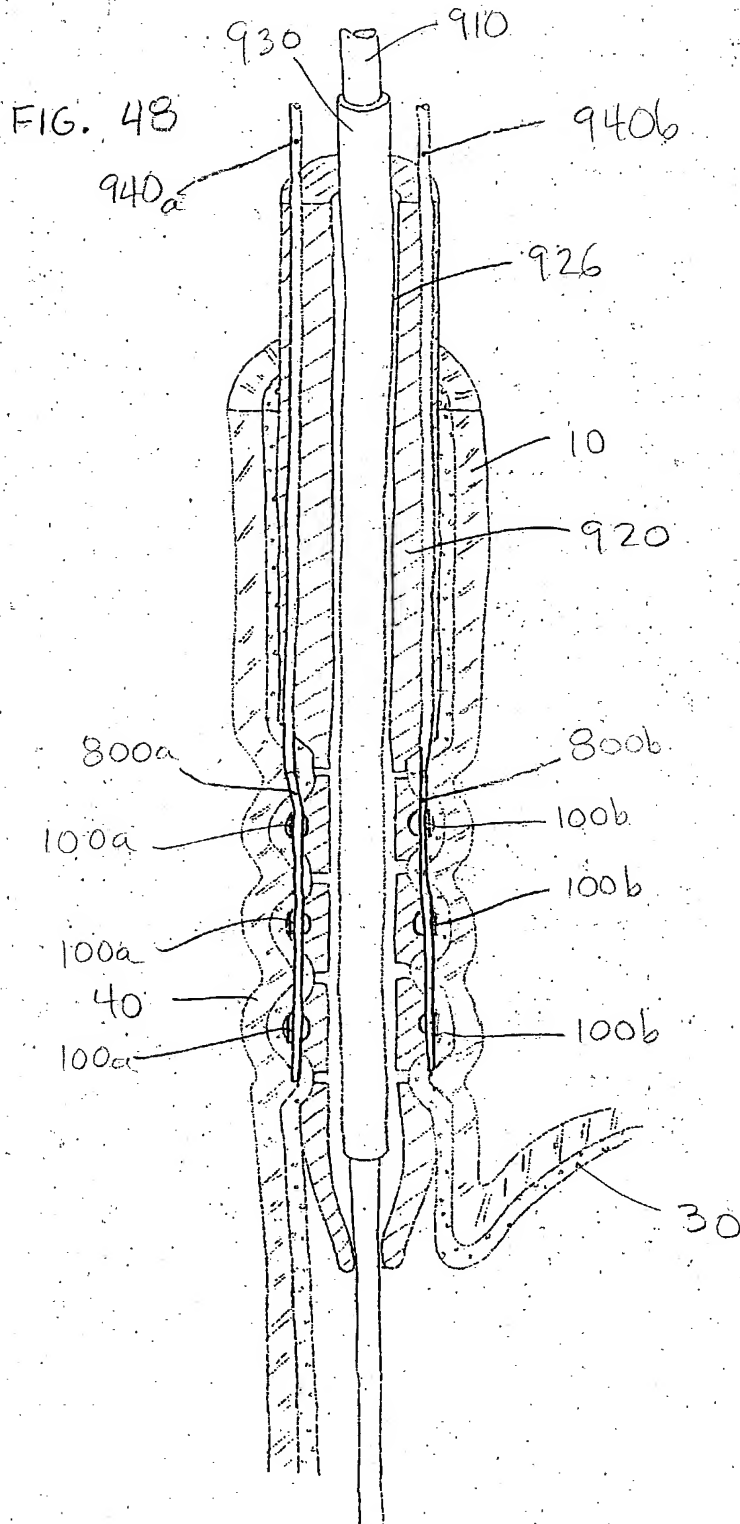


787/006



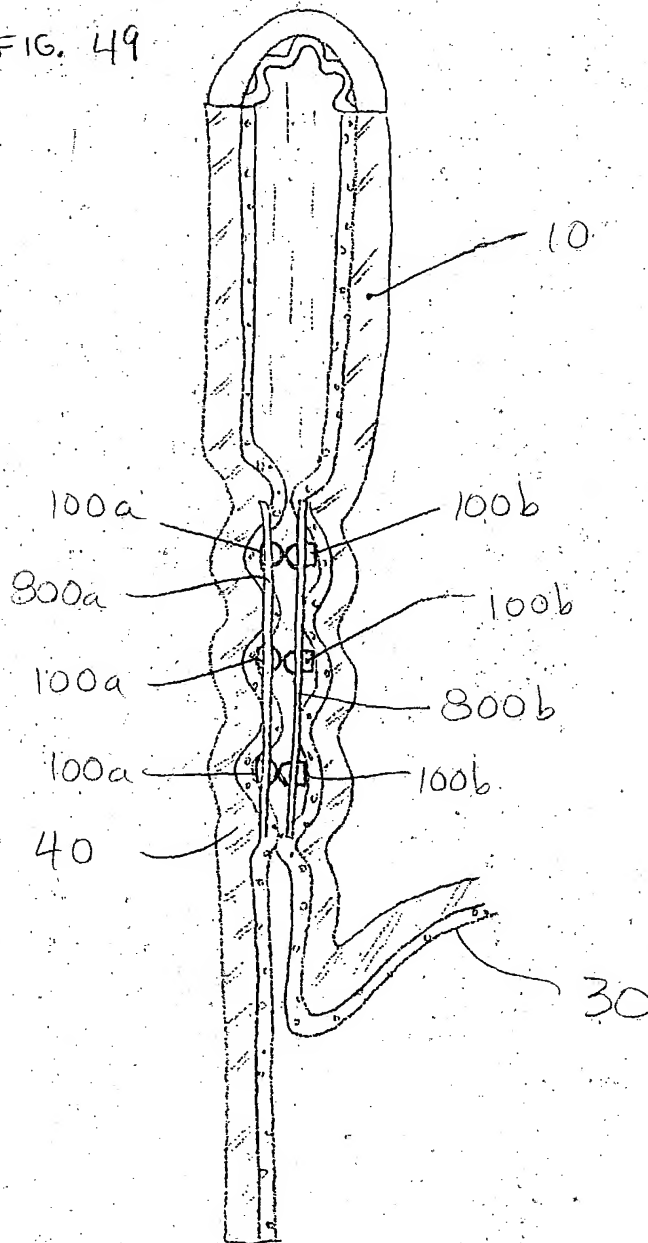


787/006



787/006

FIG. 49



787/006

FIG. 50

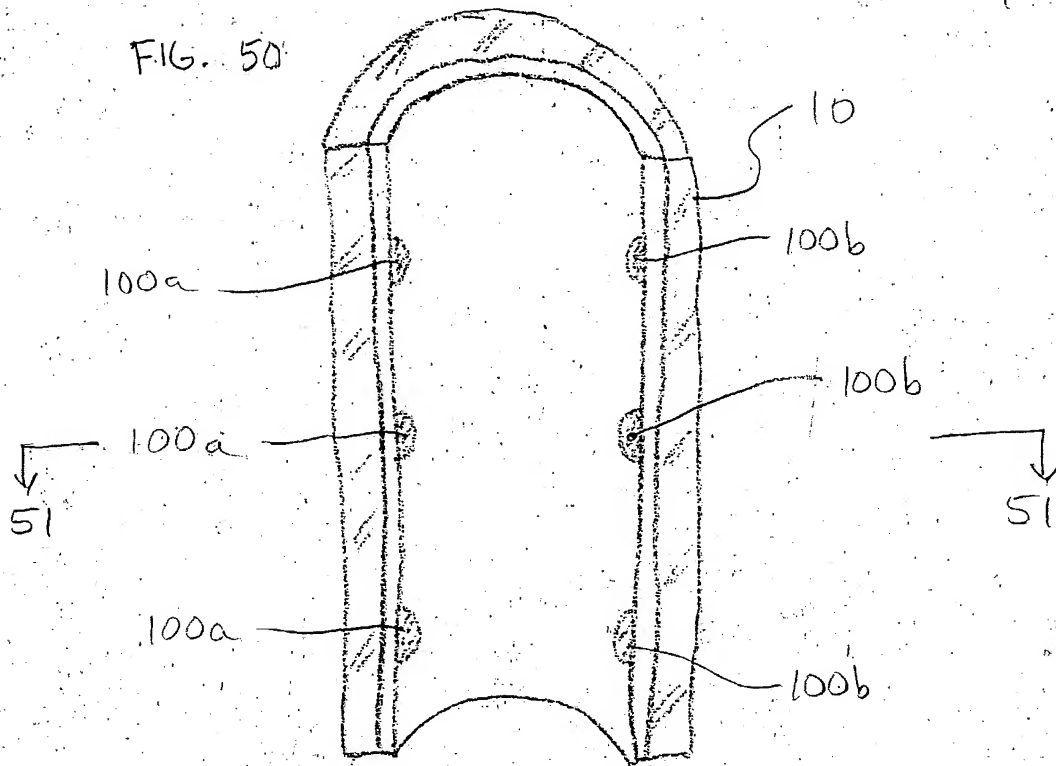
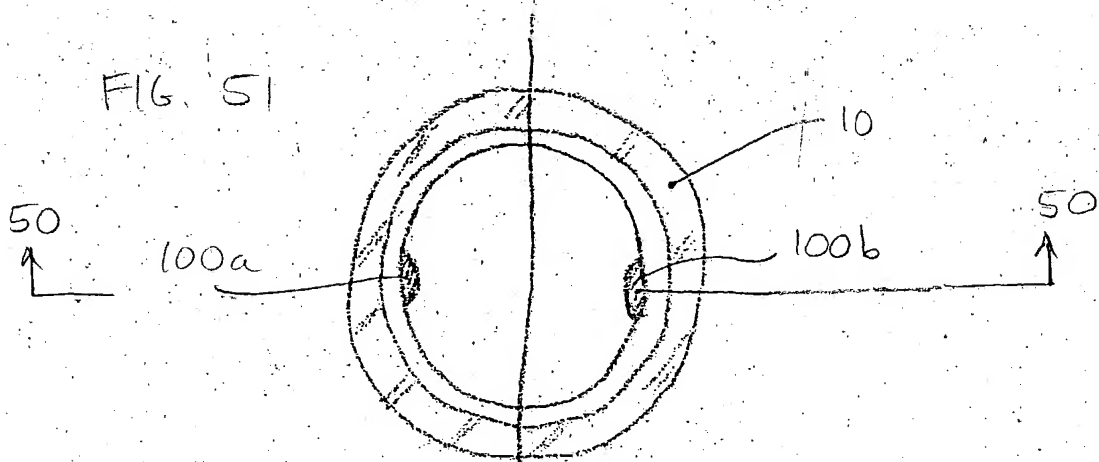


FIG. 51



NEGATIVE
POLARITY

POSITIVE
POLARITY

787/006

FIG. 52

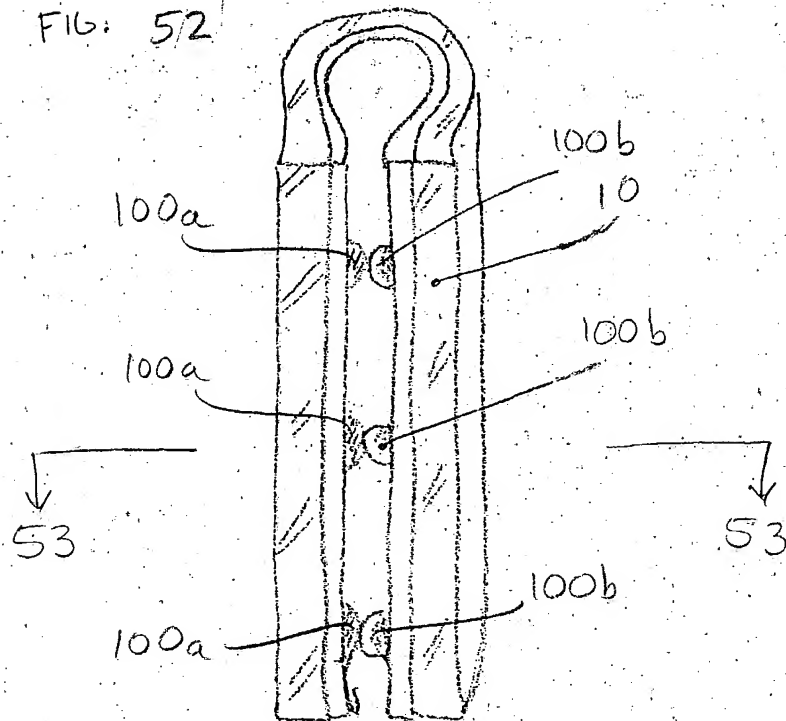
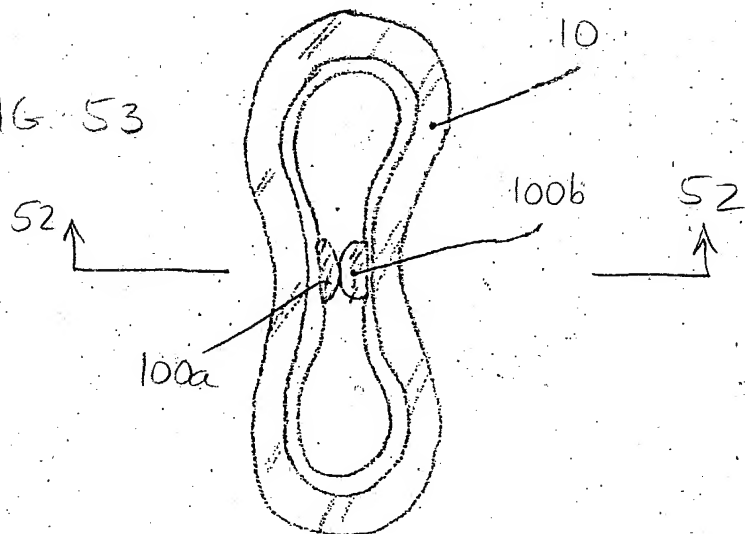


FIG. 53



787/006

FIG. 54

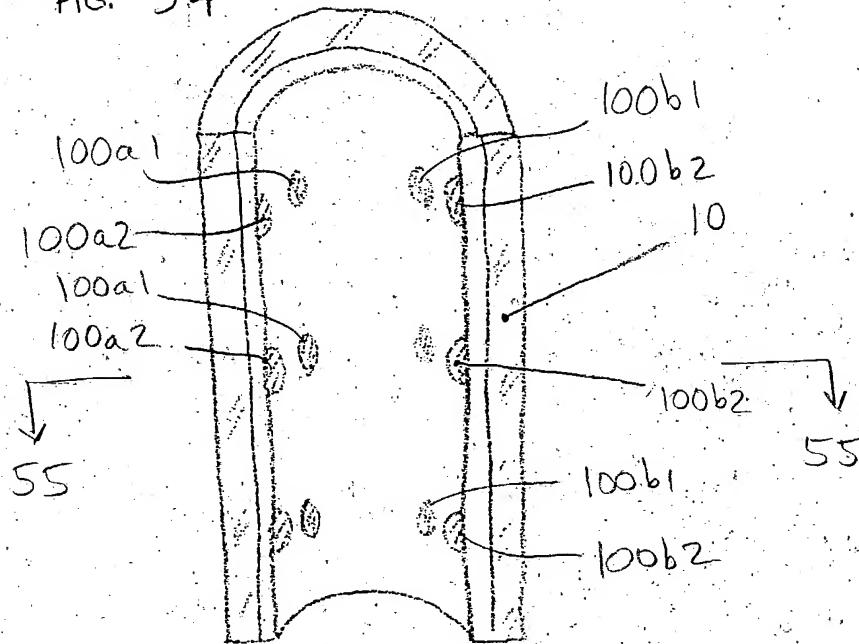
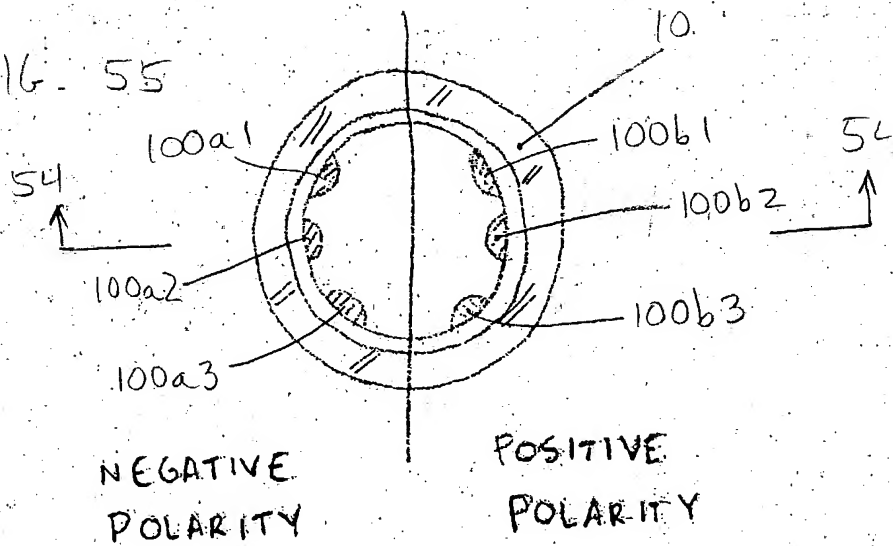


FIG. 55



787/006

FIG. 56

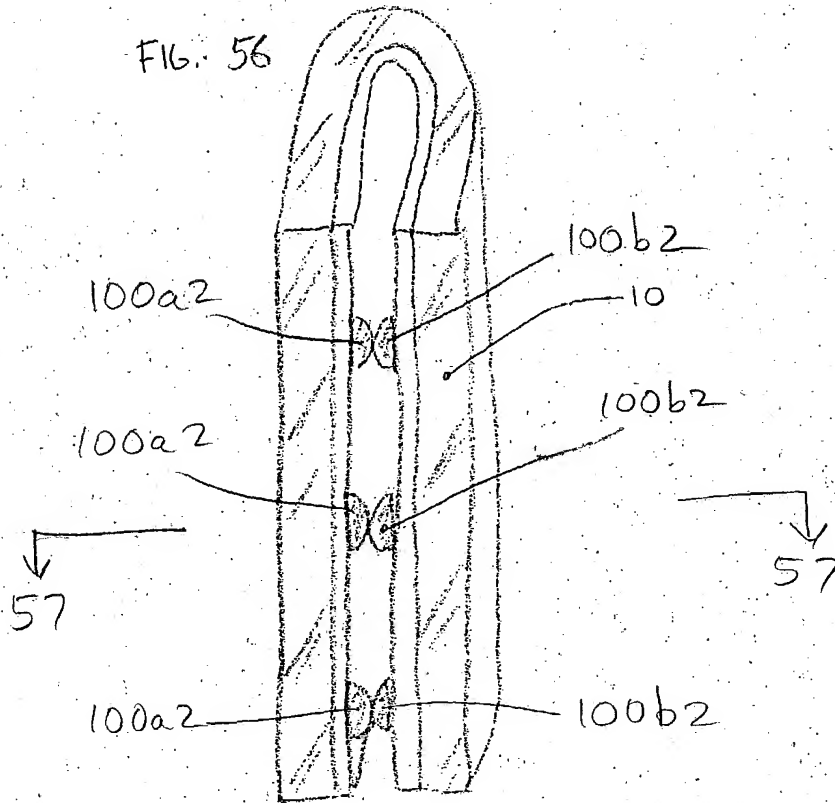
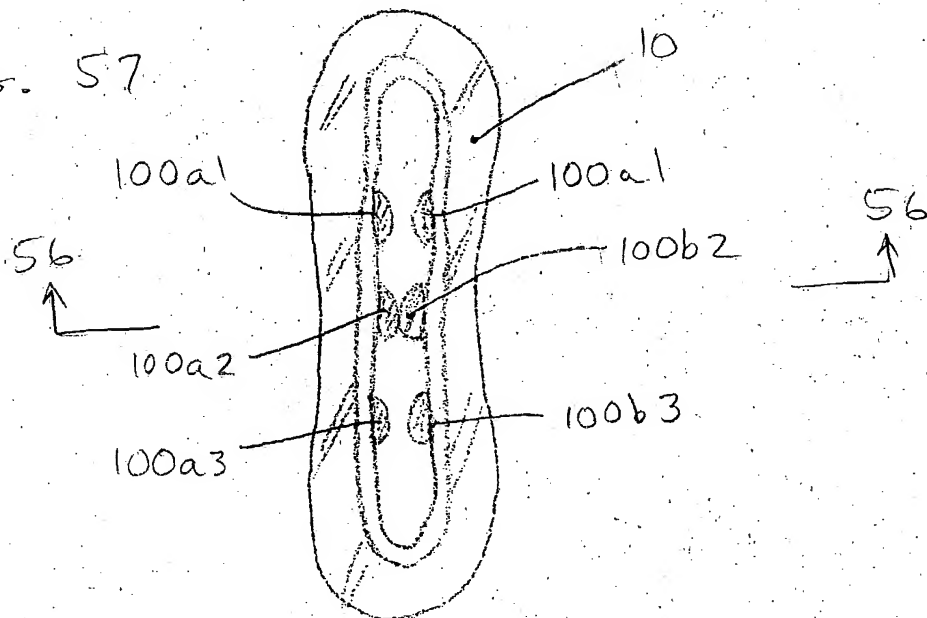
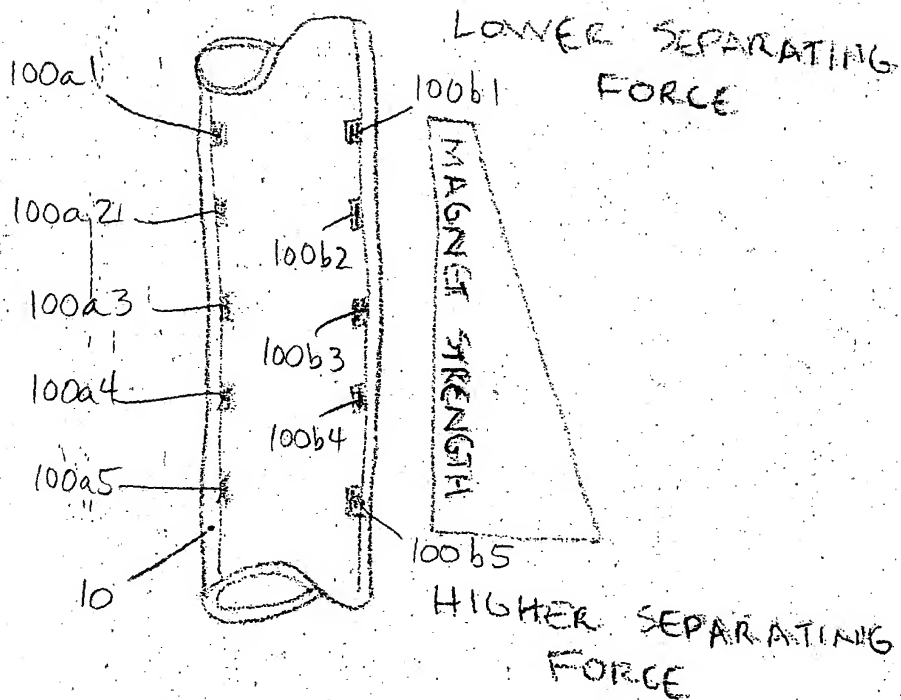


FIG. 57



787/006

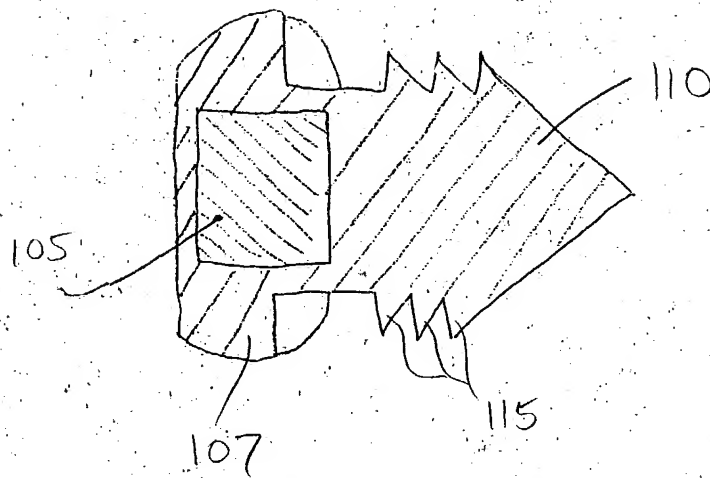
FIG. 58



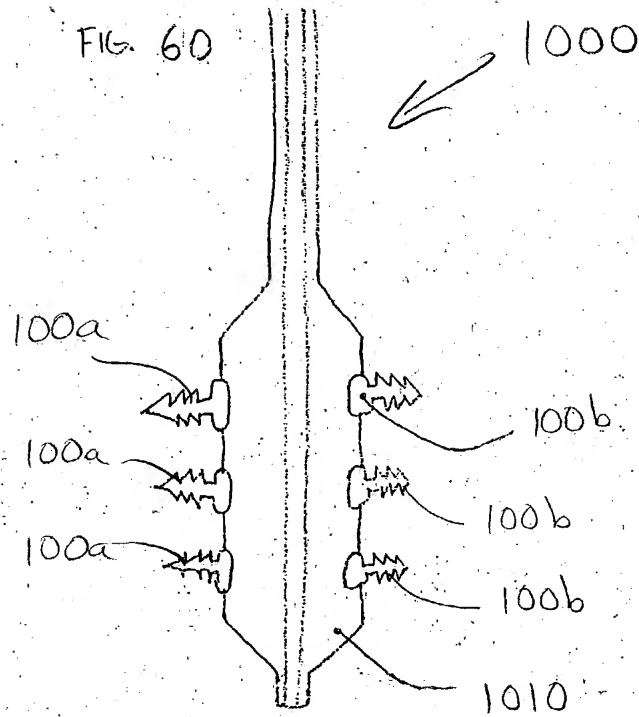
787/006

100

FIG. 59



787/006



787/006

FIG. 61

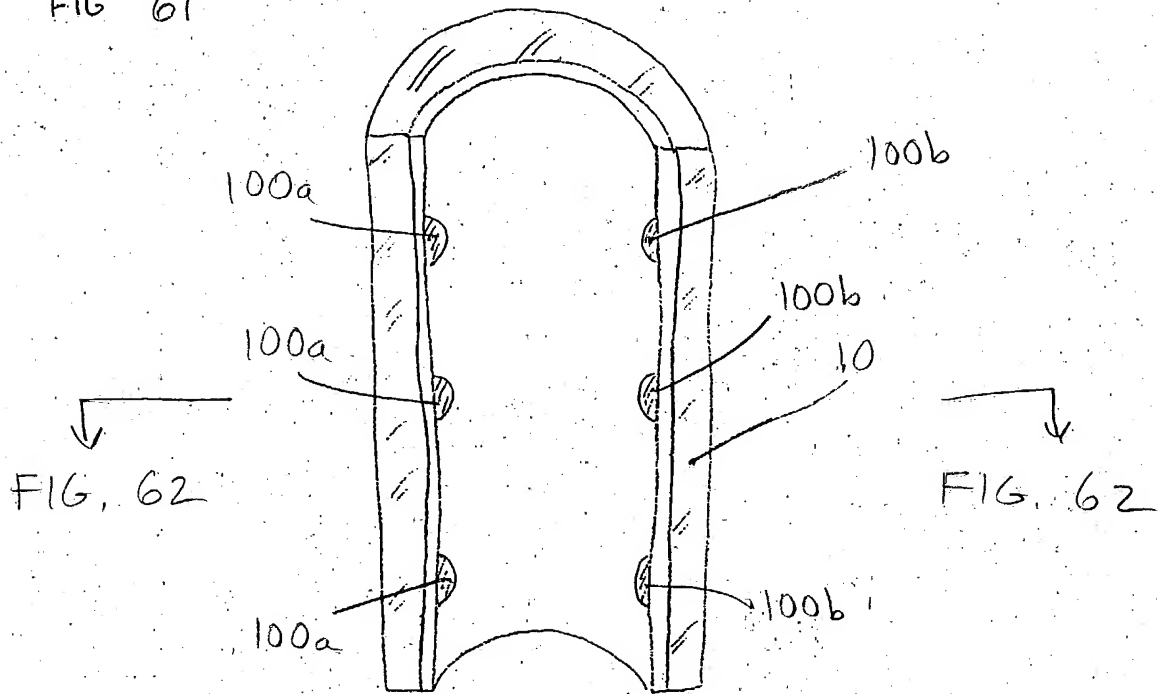
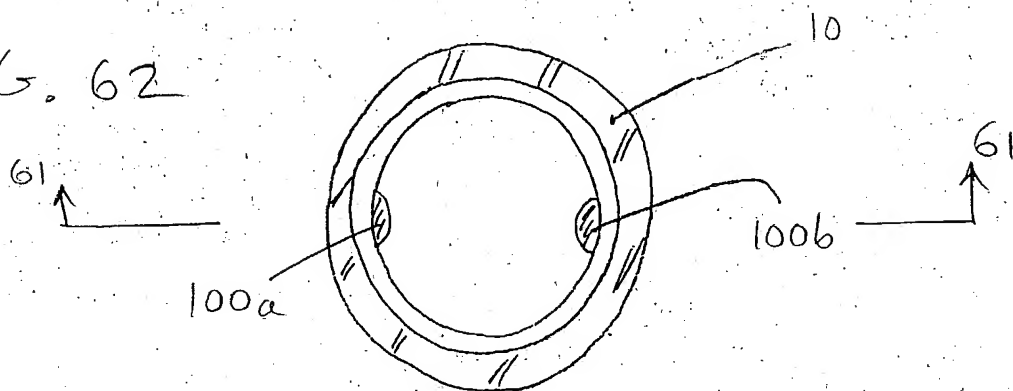


FIG. 62



EQUIVALENT POLARITY ON
ALL MAGNETS

787/006

FIG. 63

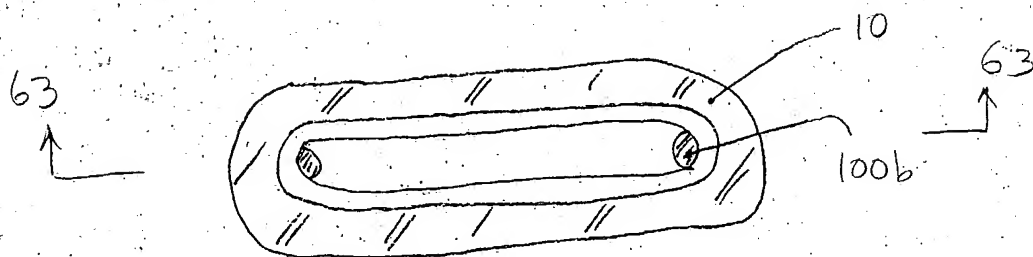
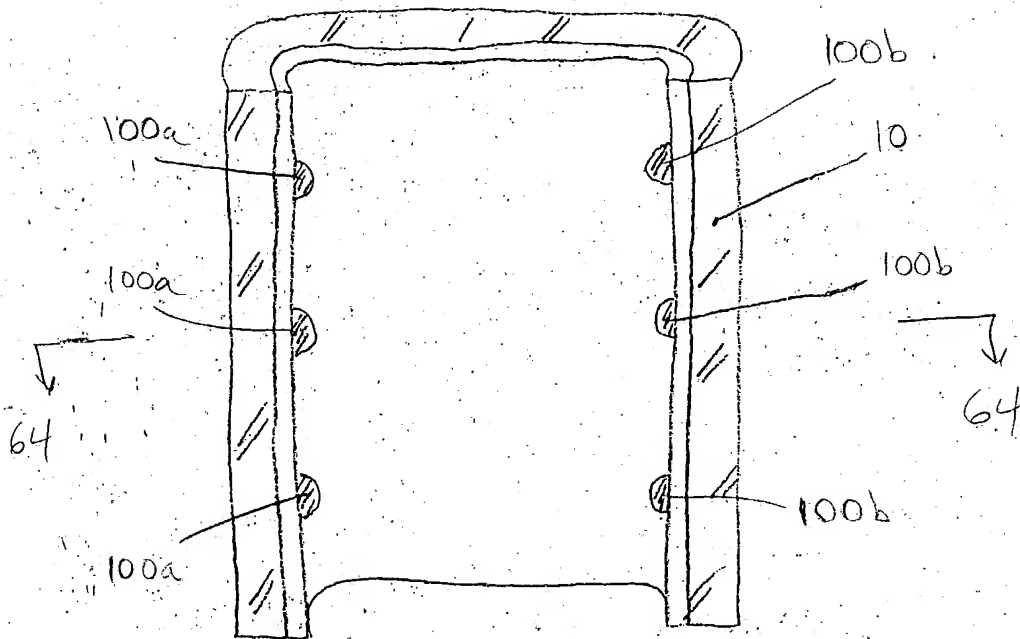


FIG. 64

787/006

FIG. 65

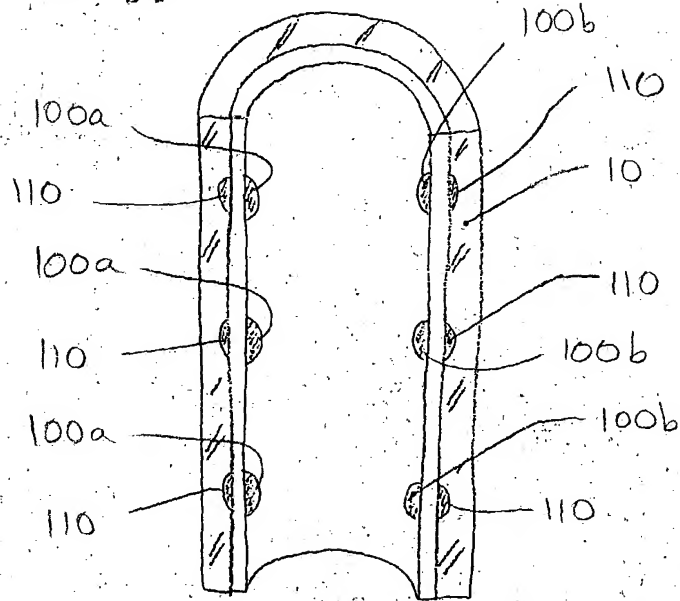
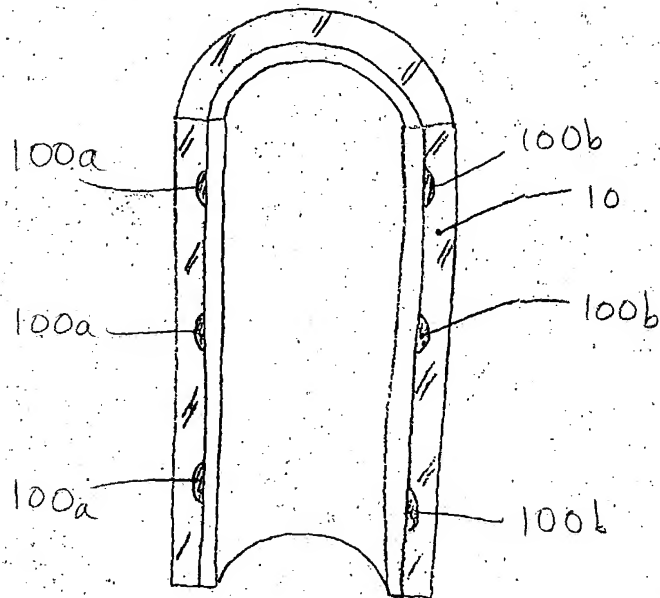


FIG. 66



787/006

FIG. 67

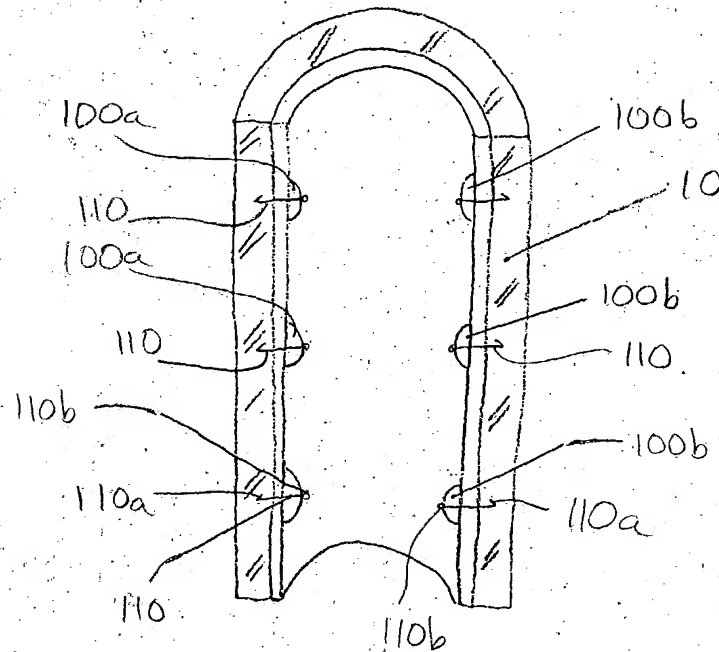
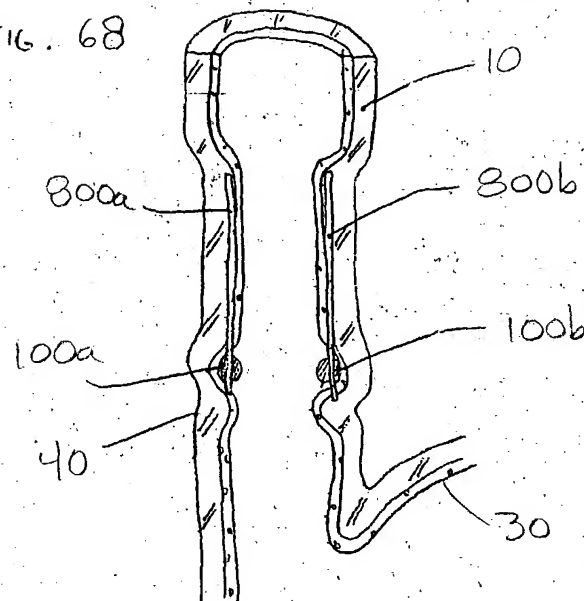
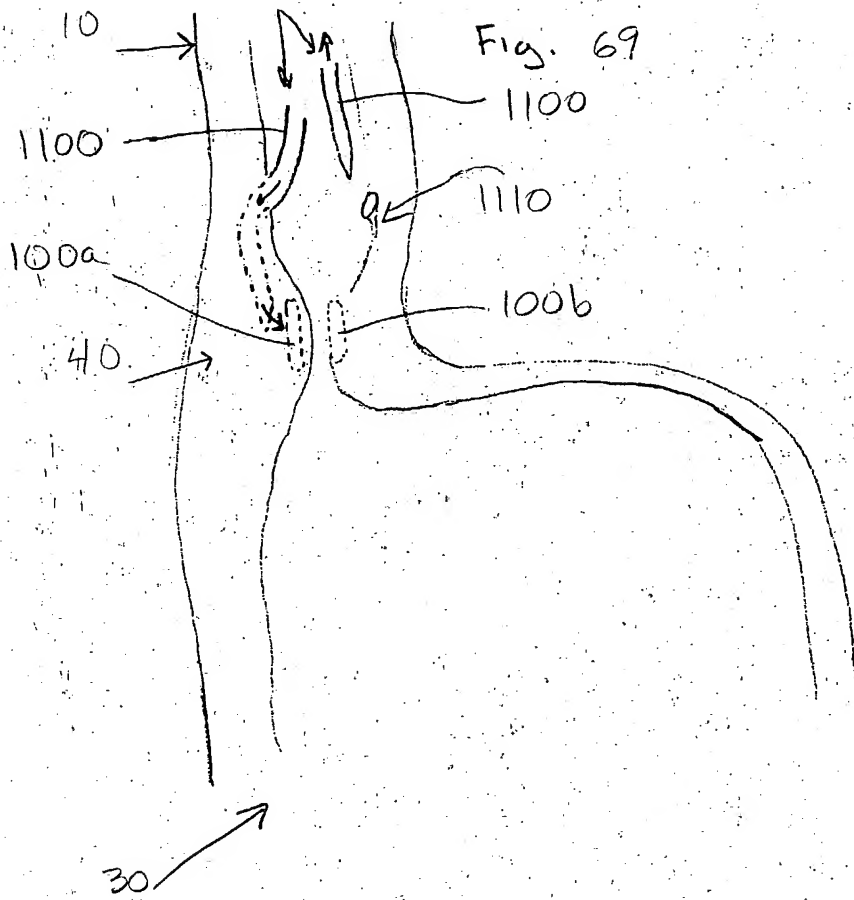


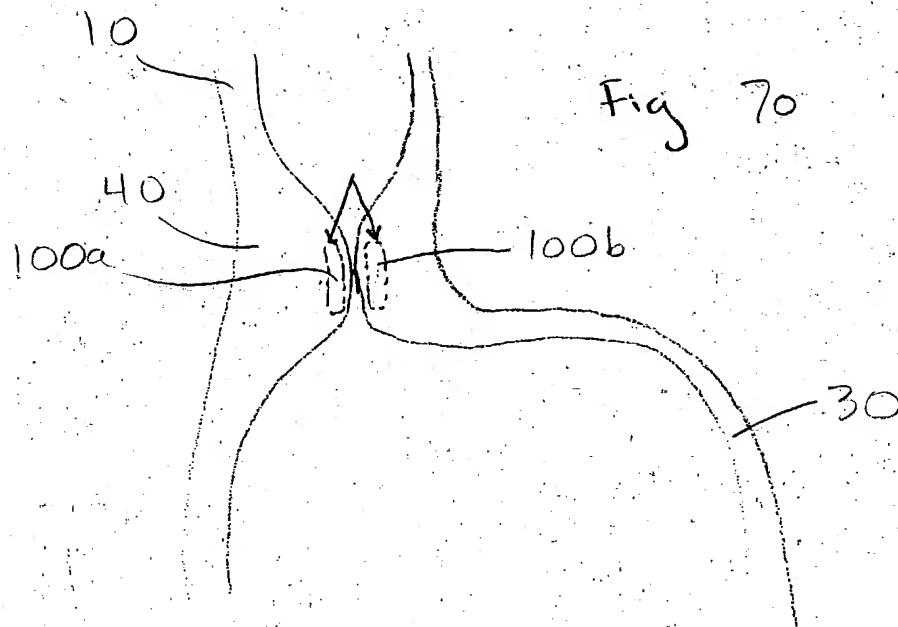
FIG. 68



787/006



787/006



787/006

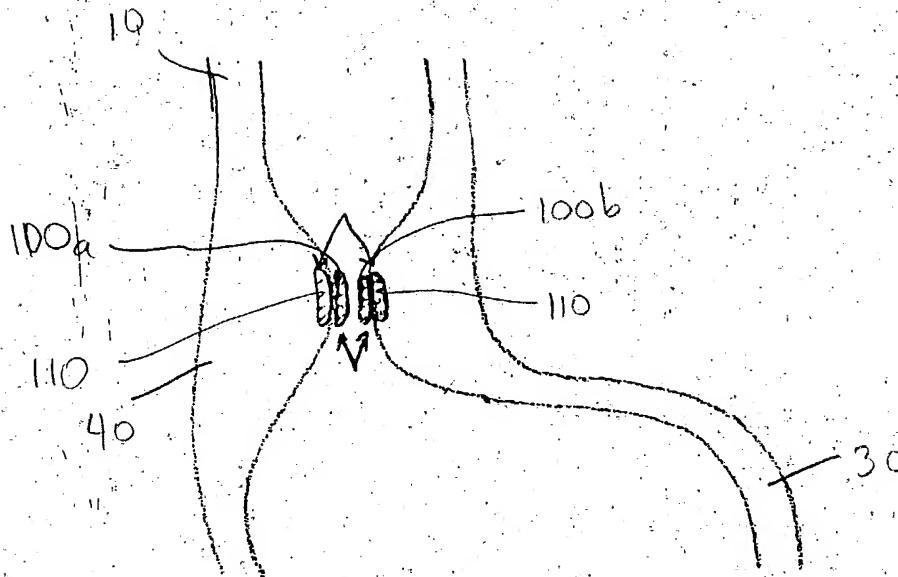


Fig. 71

787/006

Fig. 72

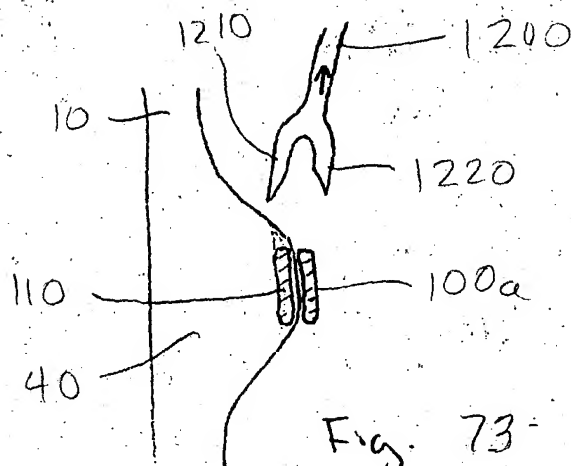
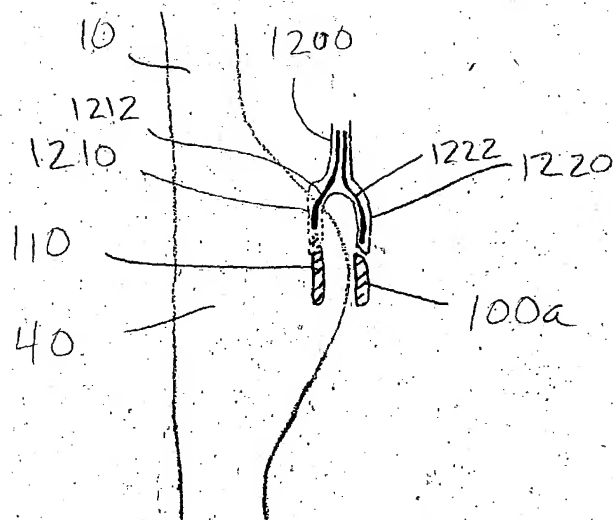


Fig. 73

787/006

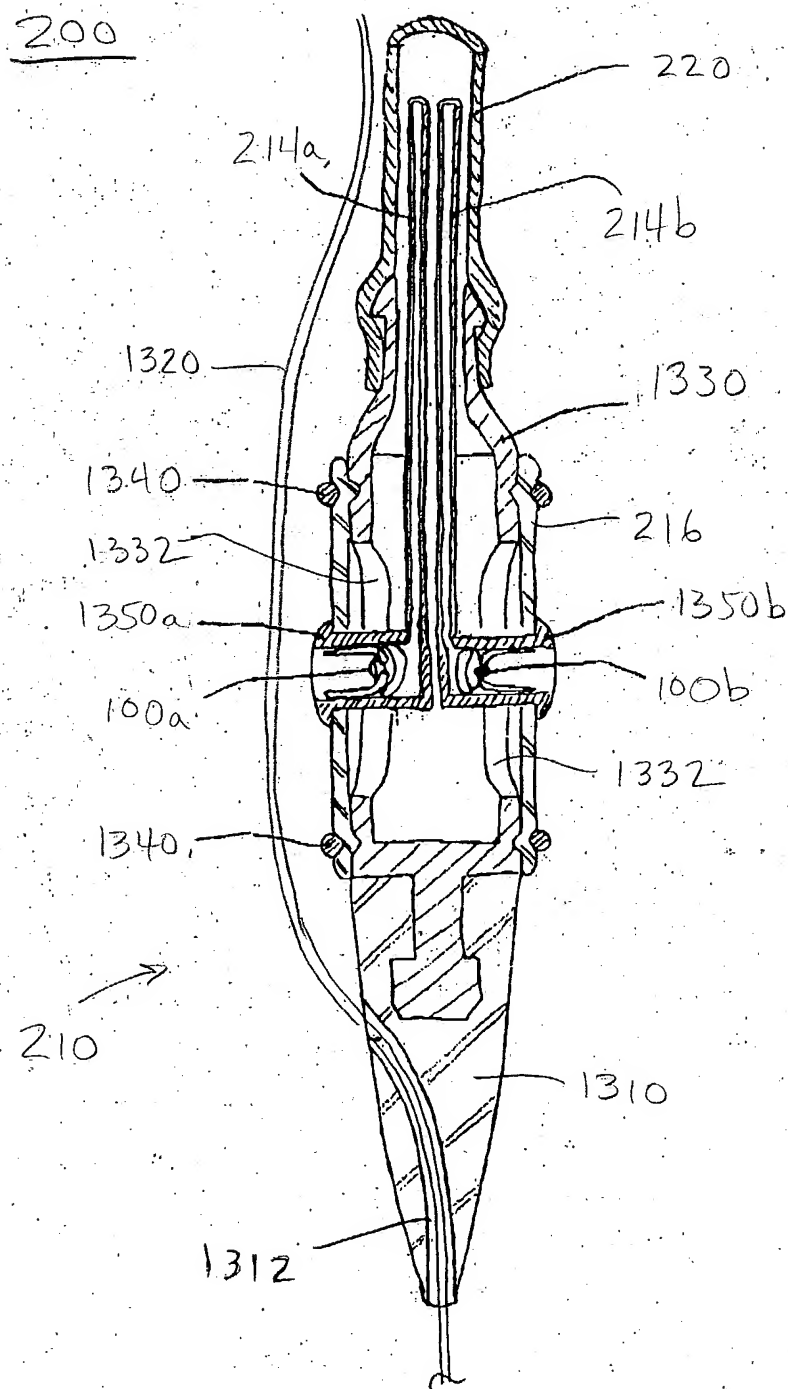


FIG. 74

787/006

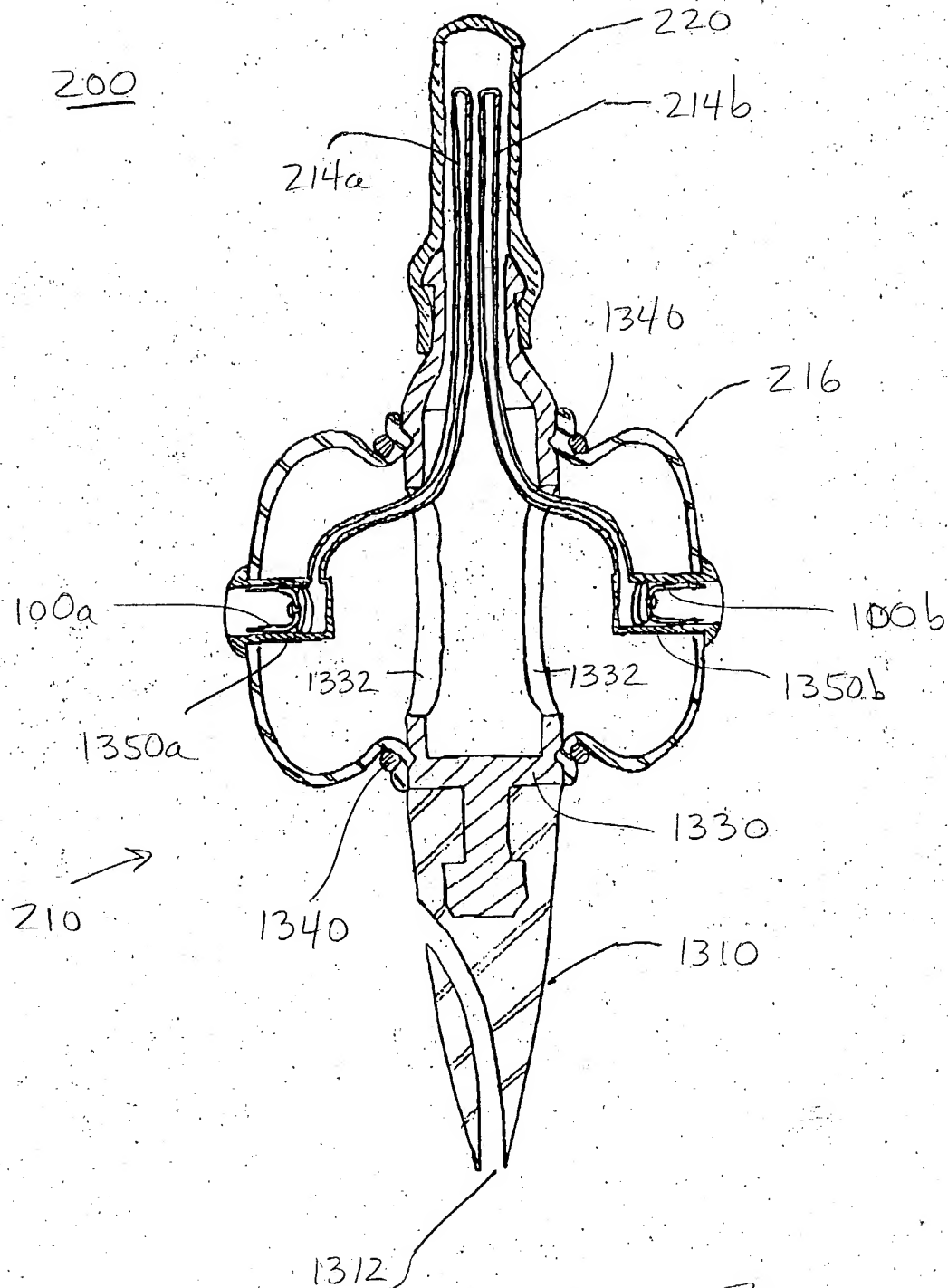


FIG. 75

787/006

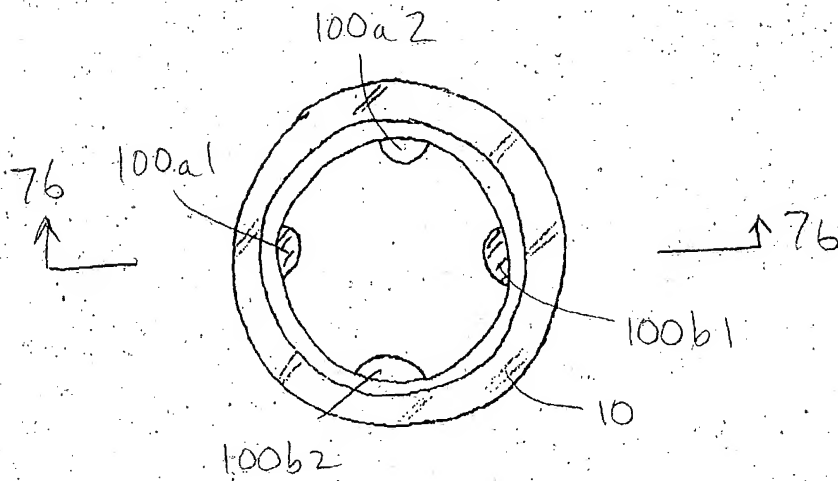
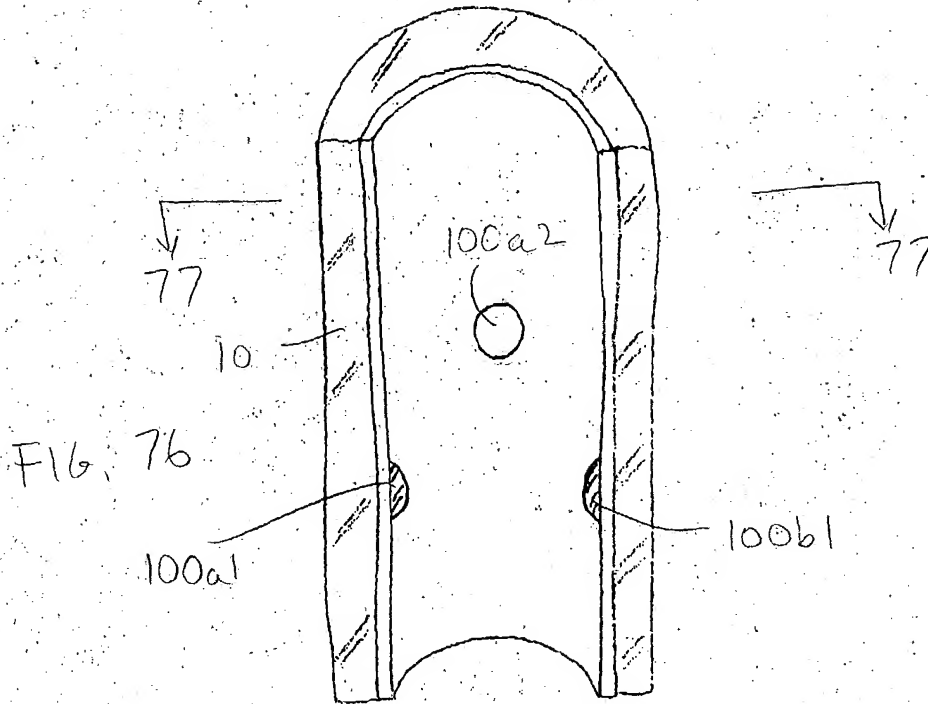


FIG. 77

787/006

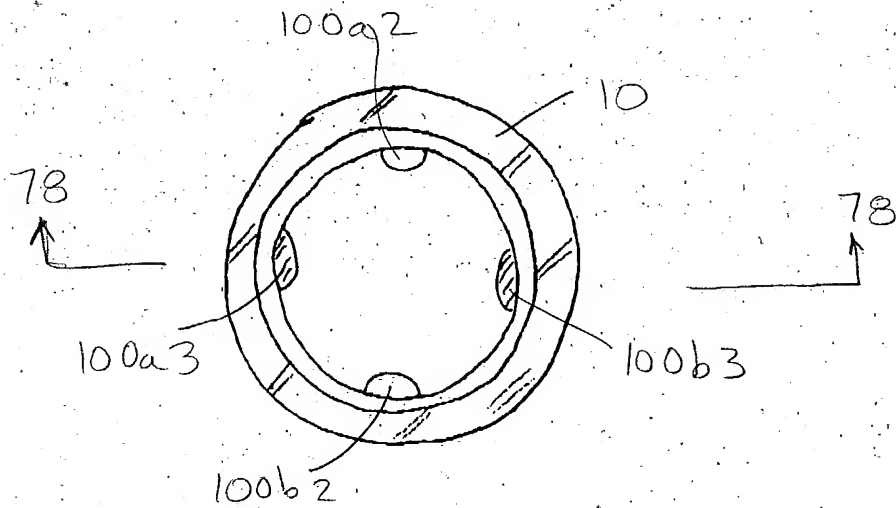
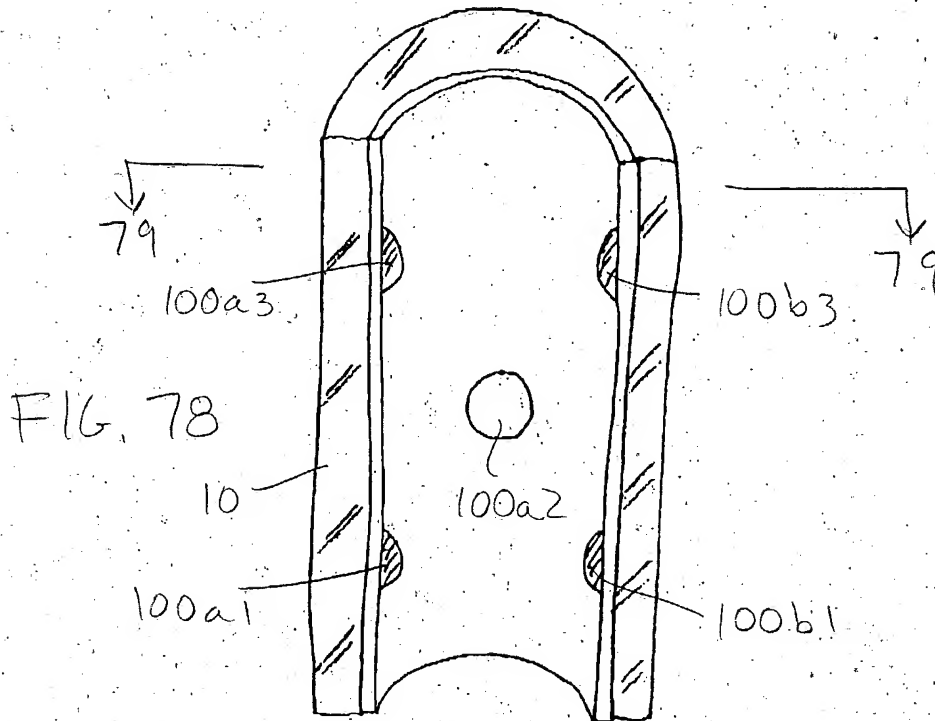


FIG. 79

787/006

FIG. 80

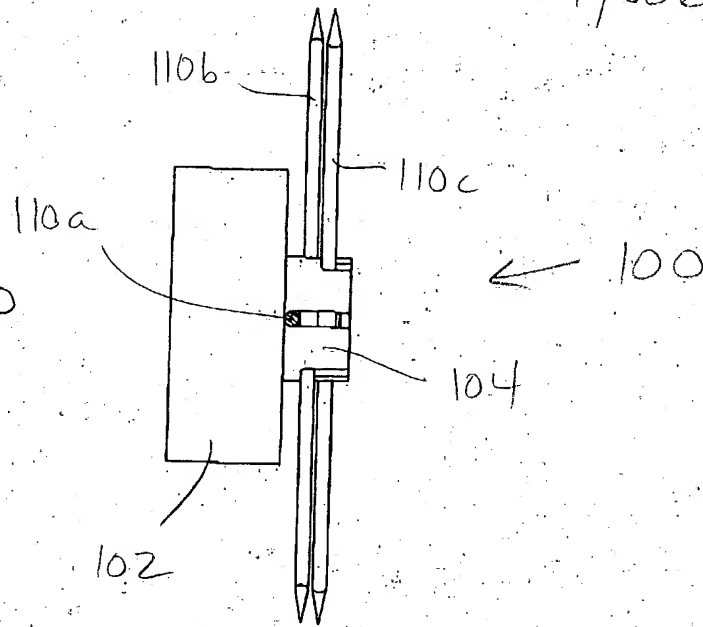


FIG. 81

